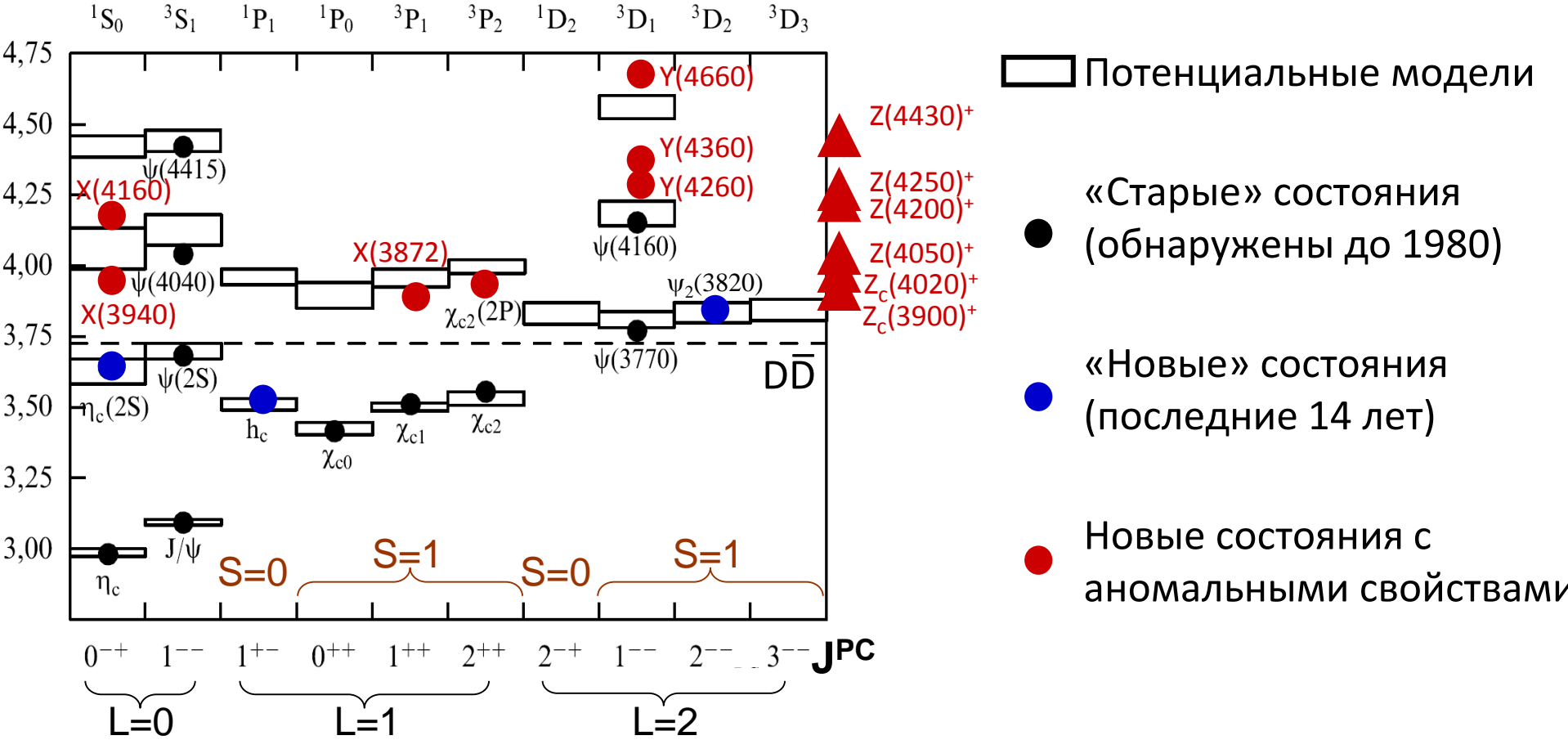


Девятые Черенковские чтения, 19 апреля 2016, ФИАН

Экзотический кваркний и черенковские детекторы

Р.В. Мизюк
(ФИАН, МИФИ, МФТИ)

Схема уровней чармонания

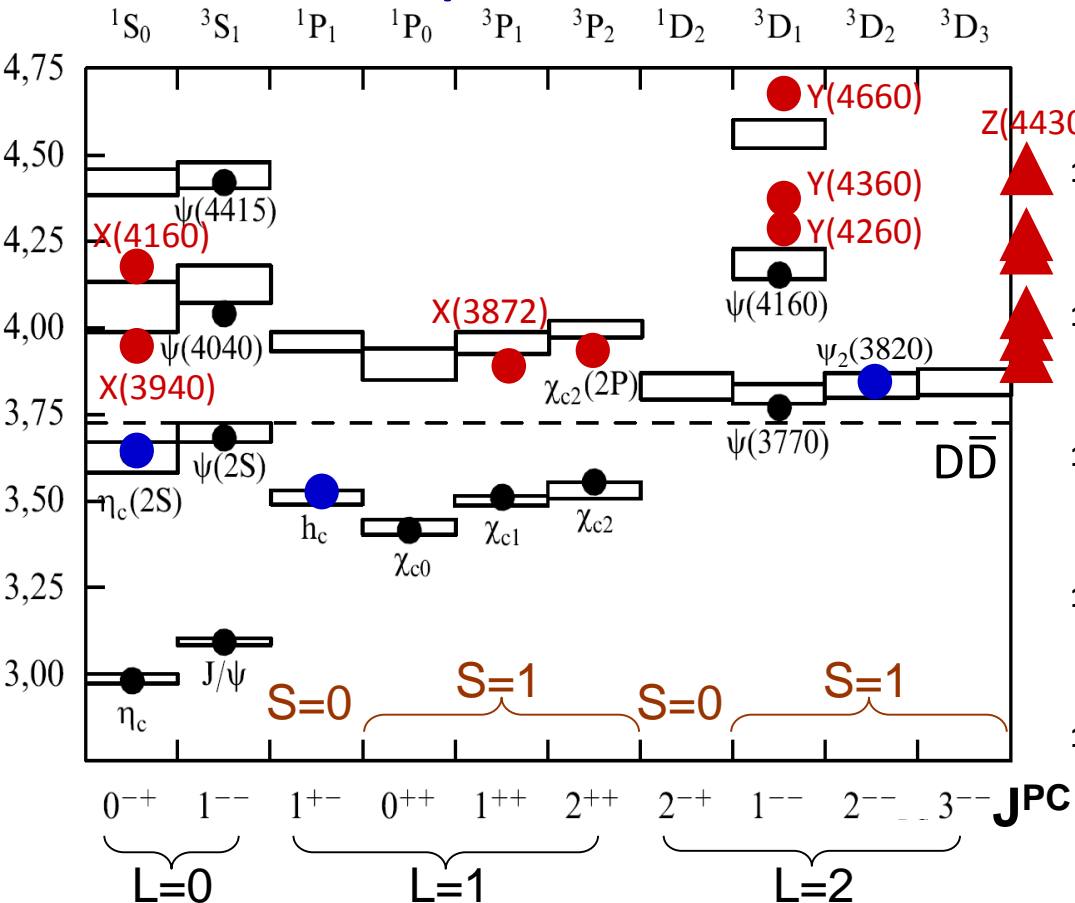


Состояния ниже порога $D\bar{D}$ узкие (аннигиляция или \rightarrow другие уровни)

Состояния выше порога $D\bar{D}$ широкие ($\rightarrow D\bar{D}$, $D\bar{D}^*$, ...)

Чармомоний

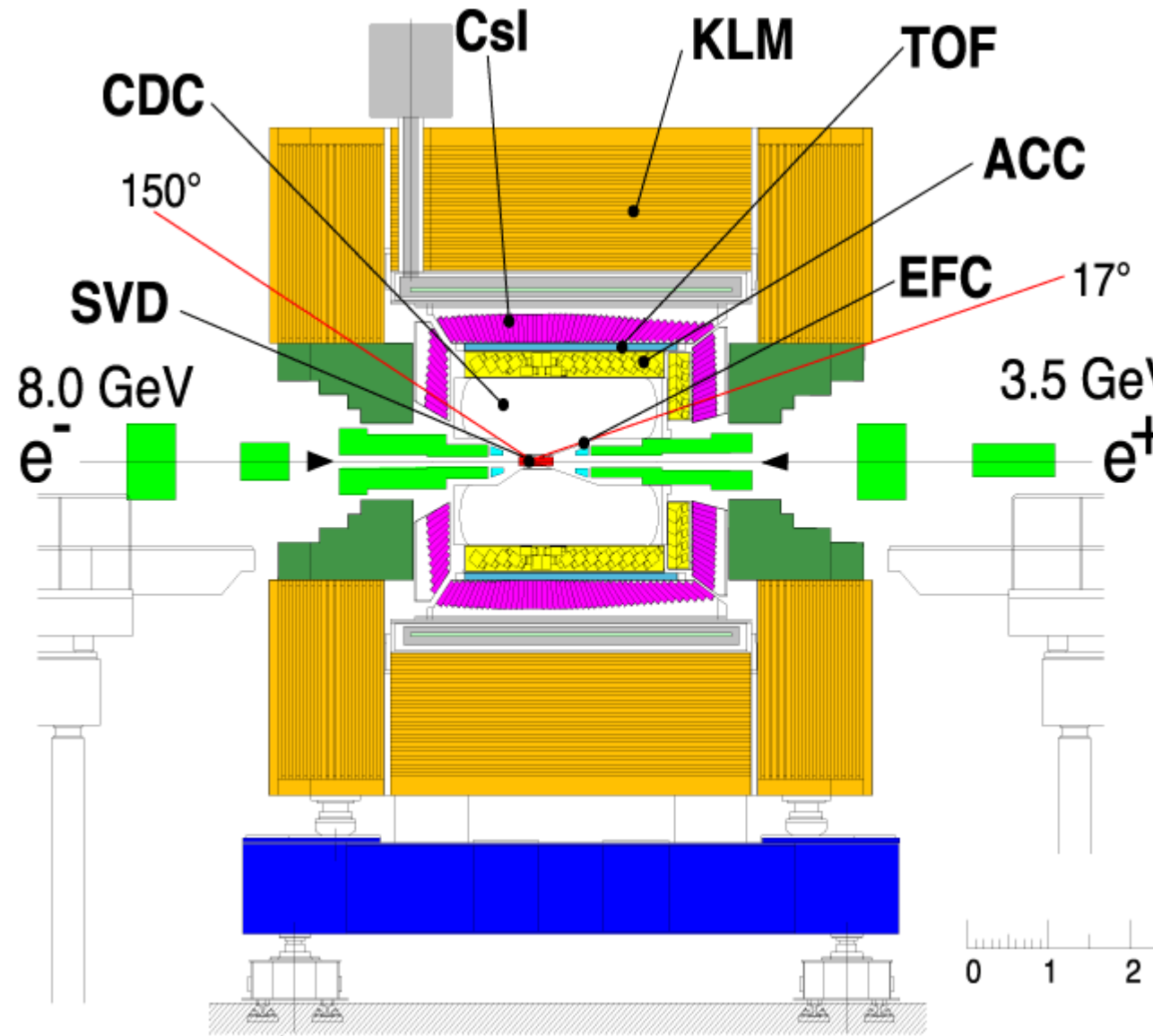
Боттомоний



- Состояния вблизи порогов
 $Z_b(10610)$, $Z_b(10650)$, $X(3872)$
- Векторные состояния
 $\psi(4040)$,.. $\Upsilon(4260)$,.. $\Upsilon(5S,6S)$

Детектор Belle на e^+e^- коллайдере KEKB

Набор данных в 1999-2010гг в лаборатории KEK (г. Цукуба, Япония)



$> 1 \text{ ab}^{-1}$

On resonance:

$\Upsilon(5S): 121 \text{ fb}^{-1}$

$\Upsilon(4S): 711 \text{ fb}^{-1}$

$\Upsilon(3S): 3 \text{ fb}^{-1}$

$\Upsilon(2S): 24 \text{ fb}^{-1}$

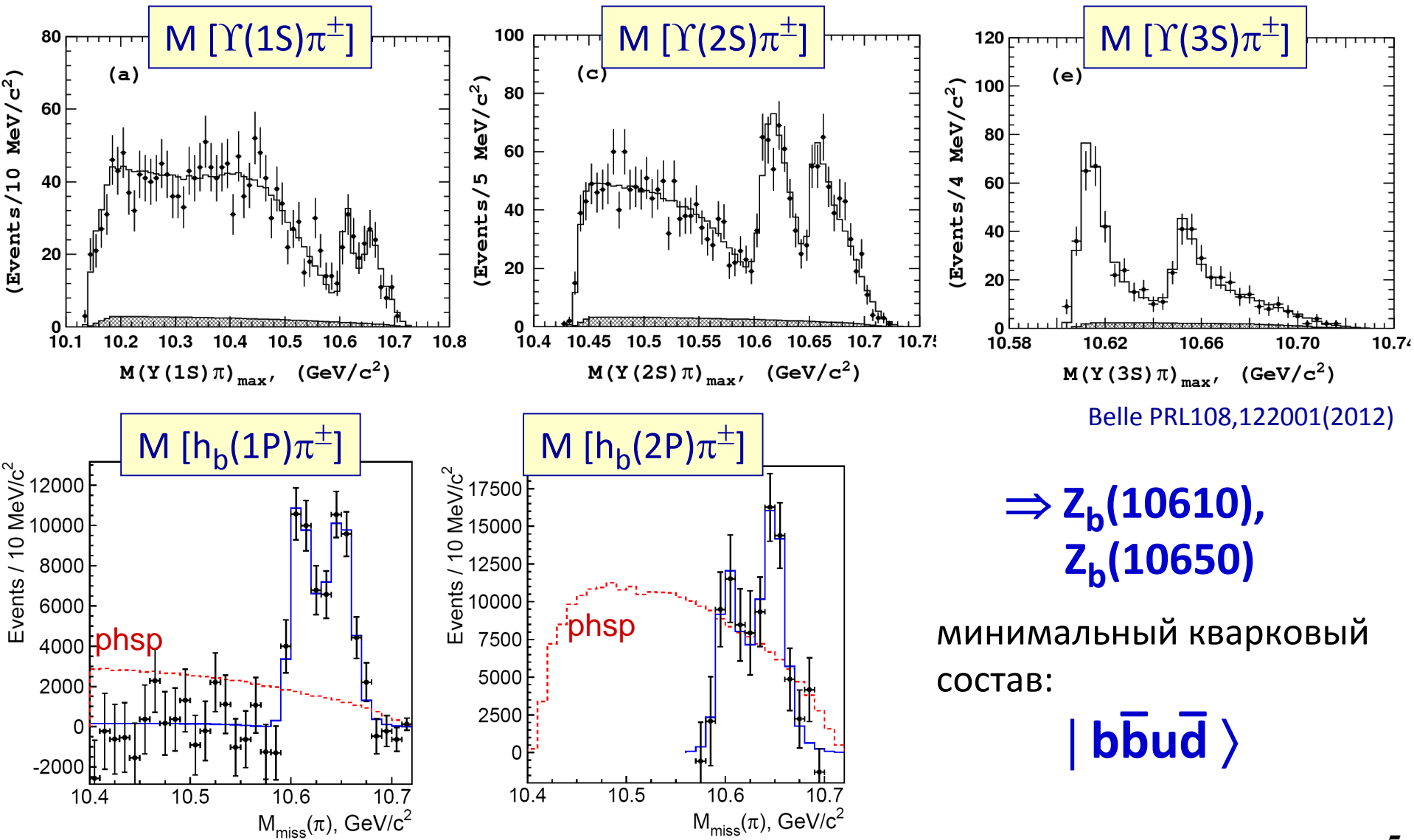
$\Upsilon(1S): 6 \text{ fb}^{-1}$

Off reson./scan :

$\sim 100 \text{ fb}^{-1}$

$$L = 2.11 \times 10^{34} \text{ cm}^{-2} \cdot \text{s}^{-1}$$

Z_b – промежуточные состояния в распадах:

$$\Upsilon(5S) \rightarrow \Upsilon(1S, 2S, 3S) \pi^+ \pi^-, h_b(1P, 2P) \pi^+ \pi^-$$


$Z_b(10610)$

$M = 10607.2 \pm 2.0 \text{ MeV}$

$\Gamma = 18.4 \pm 2.4 \text{ MeV}$

вблизи порога $B\bar{B}^*$

$\delta M = +2.6 \pm 2.1 \text{ MeV}$

 $Z_b(10650)$

$M = 10652.2 \pm 1.5 \text{ MeV}$

$\Gamma = 11.5 \pm 2.2 \text{ MeV}$

вблизи порога $B^*\bar{B}^*$

$\delta M = +1.8 \pm 1.7 \text{ MeV}$

Молекула

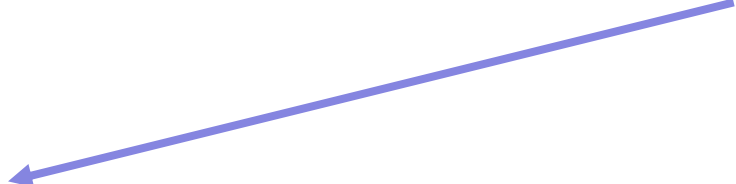
 $|B^{(*)}\bar{B}^* \rangle$ 

Распады на составляющие

$Z_b(10610) \rightarrow B\bar{B}^*$

$Z_b(10650) \rightarrow B^*\bar{B}^*$

должны доминировать



$Z_b(10610)$

$M = 10607.2 \pm 2.0 \text{ MeV}$

$\Gamma = 18.4 \pm 2.4 \text{ MeV}$

вблизи порога $B\bar{B}^*$

$\delta M = +2.6 \pm 2.1 \text{ MeV}$

 $Z_b(10650)$

$M = 10652.2 \pm 1.5 \text{ MeV}$

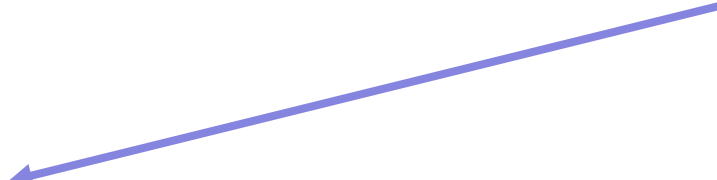
$\Gamma = 11.5 \pm 2.2 \text{ MeV}$

вблизи порога $B^*\bar{B}^*$

$\delta M = +1.8 \pm 1.7 \text{ MeV}$

Молекула

$|B^{(*)}\bar{B}^*\rangle$



Дикварк-антидикварк ?

$|(bq)(\bar{b}\bar{q})\rangle$

Ali, Hambrock, Wang,
PRD85,054011(2012)

Распады на составляющие

$Z_b(10610) \rightarrow B\bar{B}^*$

$Z_b(10650) \rightarrow B^*\bar{B}^*$

должны доминировать

Распады на $B^{(*)}\bar{B}^*$ не выделены

$\Gamma(B^{(*)}\bar{B}^*) \sim \Gamma(\Upsilon\pi) \sim \Gamma(h_b\pi)$

дикварк разрушается в любом случае

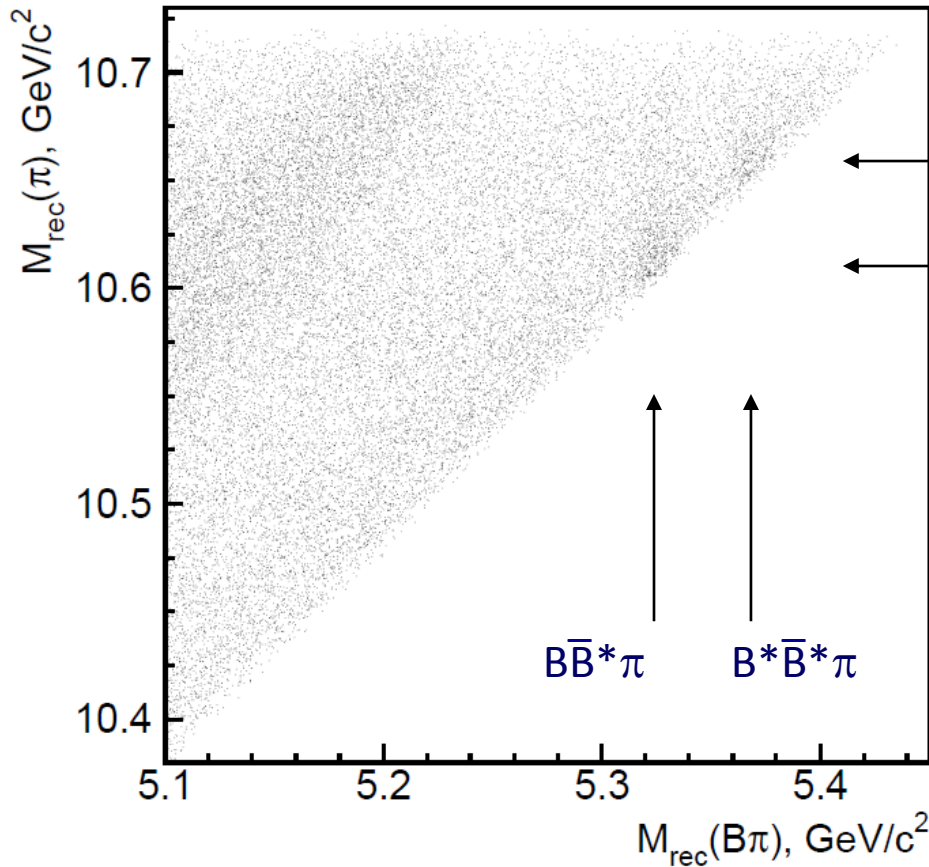
$$\Upsilon(5S) \rightarrow B\bar{B}^*\pi$$

$$\Upsilon(5S) \rightarrow B^*\bar{B}^*\pi$$

Восстанавливаем один В мезон и π , используем массу отдачи:

$$M_{rec}(B\pi) = \sqrt{(E_{e+e-} - E_{B\pi})^2 - (\vec{p}_{e+e-} - \vec{p}_{B\pi})^2}$$

Belle arxiv:1512.07419



Видны сигналы

$$Z_b(10610) \rightarrow B\bar{B}^*$$

$$Z_b(10650) \rightarrow B^*\bar{B}^*$$

Таблица распадов $Z_b \Rightarrow$

Belle arxiv:1512.07419

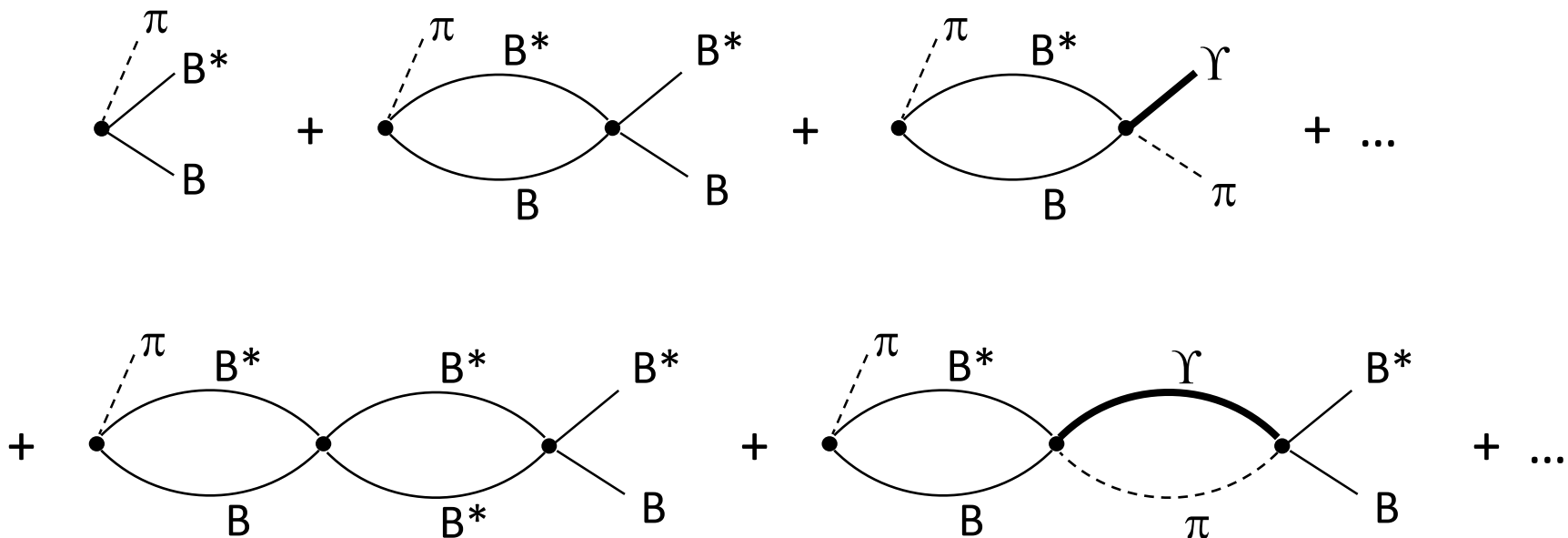
Channel	Fraction, %	
	$Z_b(10610)$	$Z_b(10650)$
$\Upsilon(1S)\pi^+$	$0.60 \pm 0.17 \pm 0.07$	$0.17 \pm 0.06 \pm 0.02$
$\Upsilon(2S)\pi^+$	$4.05 \pm 0.81 \pm 0.58$	$1.38 \pm 0.45 \pm 0.21$
$\Upsilon(3S)\pi^+$	$2.40 \pm 0.58 \pm 0.36$	$1.62 \pm 0.50 \pm 0.24$
$h_b(1P)\pi^+$	$4.26 \pm 1.28 \pm 1.10$	$9.23 \pm 2.88 \pm 2.28$
$h_b(2P)\pi^+$	$6.08 \pm 2.15 \pm 1.63$	$17.0 \pm 3.74 \pm 4.1$
$B^+ \bar{B}^{*0} + \bar{B}^0 B^{*+}$	$82.6 \pm 2.9 \pm 2.3$	—
$B^{*+} \bar{B}^{*0}$	—	$70.6 \pm 4.9 \pm 4.4$

$B\bar{B}^*$, $B^*\bar{B}^*$ доминируют, как и ожидается для молекулярной структуры

Belle PRD91,072003(2015)

6D
Полный амплитудный анализ каналов $\Upsilon(nS)\pi\pi \Rightarrow Z_b(10610) \quad J^P = 1^+$
 $B^{(*)}\bar{B}^*$ в S-волне $Z_b(10650) \quad J^P = 1^+$

Механизм связи



⇒ полюс в амплитудах – «резонанс связанных каналов»

⇒ Феноменологическая параметризация амплитуды

Guo, Hanhart, Kalashnikova, RM,
Nefediev, Wang arxiv:1602.00940

параметры: константы связи в вершинах

$$B\bar{B}^* \leftrightarrow B\bar{B}^*$$

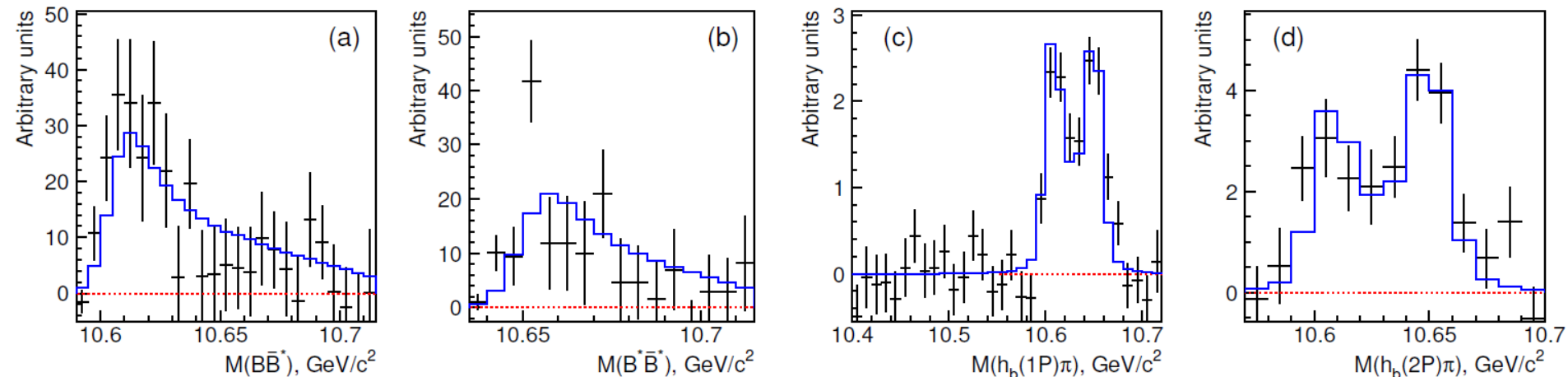
$$B^*\bar{B}^* \leftrightarrow B^*\bar{B}^*$$

$$B\bar{B}^* \leftrightarrow h_b(1P)\pi$$

$$B^*\bar{B}^* \leftrightarrow h_b(2P)\pi$$

$$\left. \begin{array}{c} B\bar{B}^* \\ B^*\bar{B}^* \end{array} \right\} \left[\begin{array}{c} \gamma(1S)\pi \\ \gamma(2S)\pi \\ \gamma(3S)\pi \end{array} \right]$$

⇒ Одновременный фит 4 каналов:



Поляса амплитуды вблизи $B\bar{B}^*$, $B^*\bar{B}^*$ порогов на II и III листах поверхности Римана

⇒ Z_b – виртуальные состояния
потенциала немножко не хватает
для образования связанного состояния

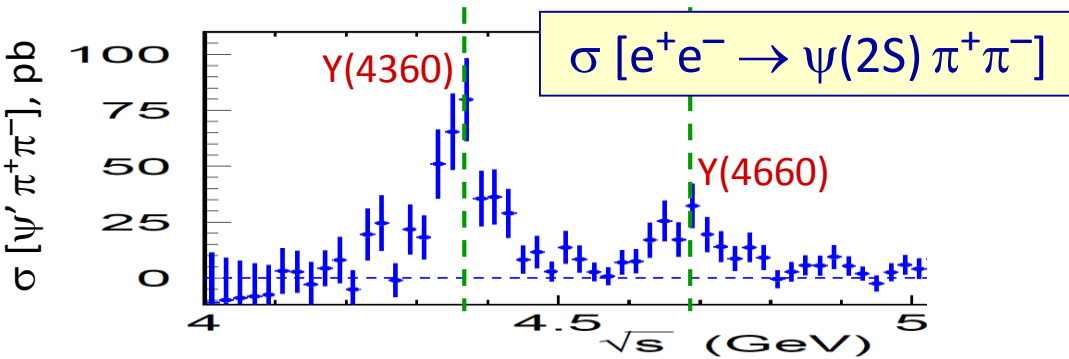
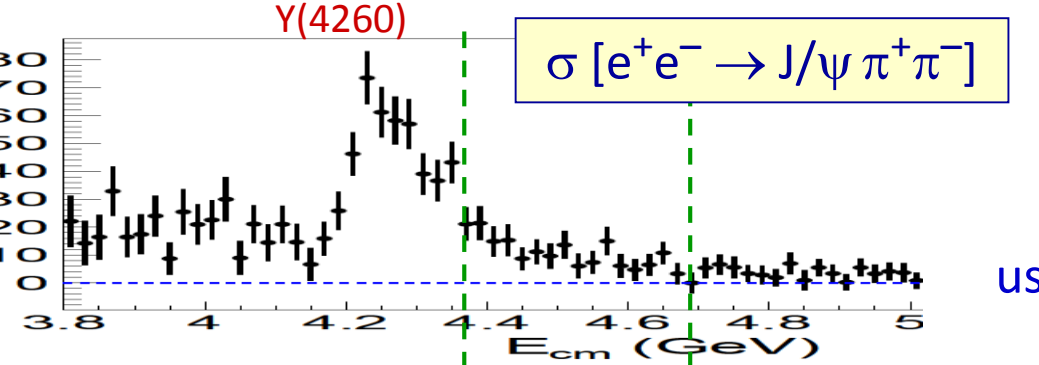
$$\begin{aligned} B\bar{B}^*: & -1.1^{+0.8}_{-0.5} - i 0.06 \pm 0.02 \text{ MeV} \\ B^*\bar{B}^*: & -1.1^{+0.8}_{-0.5} - i 0.08^{+0.03}_{-0.05} \text{ MeV} \end{aligned}$$

Найденные параметры могут вычисляться в моделях КХД или на решетках ⇒
мост между теорией и экспериментом. Изучение мезон-мезонного потенциала.

Планы: – добавить каналы $\Upsilon\pi$ (нерезонансный вклад ⇒ многомерный анализ)
– улучшить точность в каналах $B\bar{B}^*$, $B^*\bar{B}^*$
– учесть обмен пионами (ожидается, что эффект мал)

Векторные кварконыеподобные состояния

Сечения в области чармонания



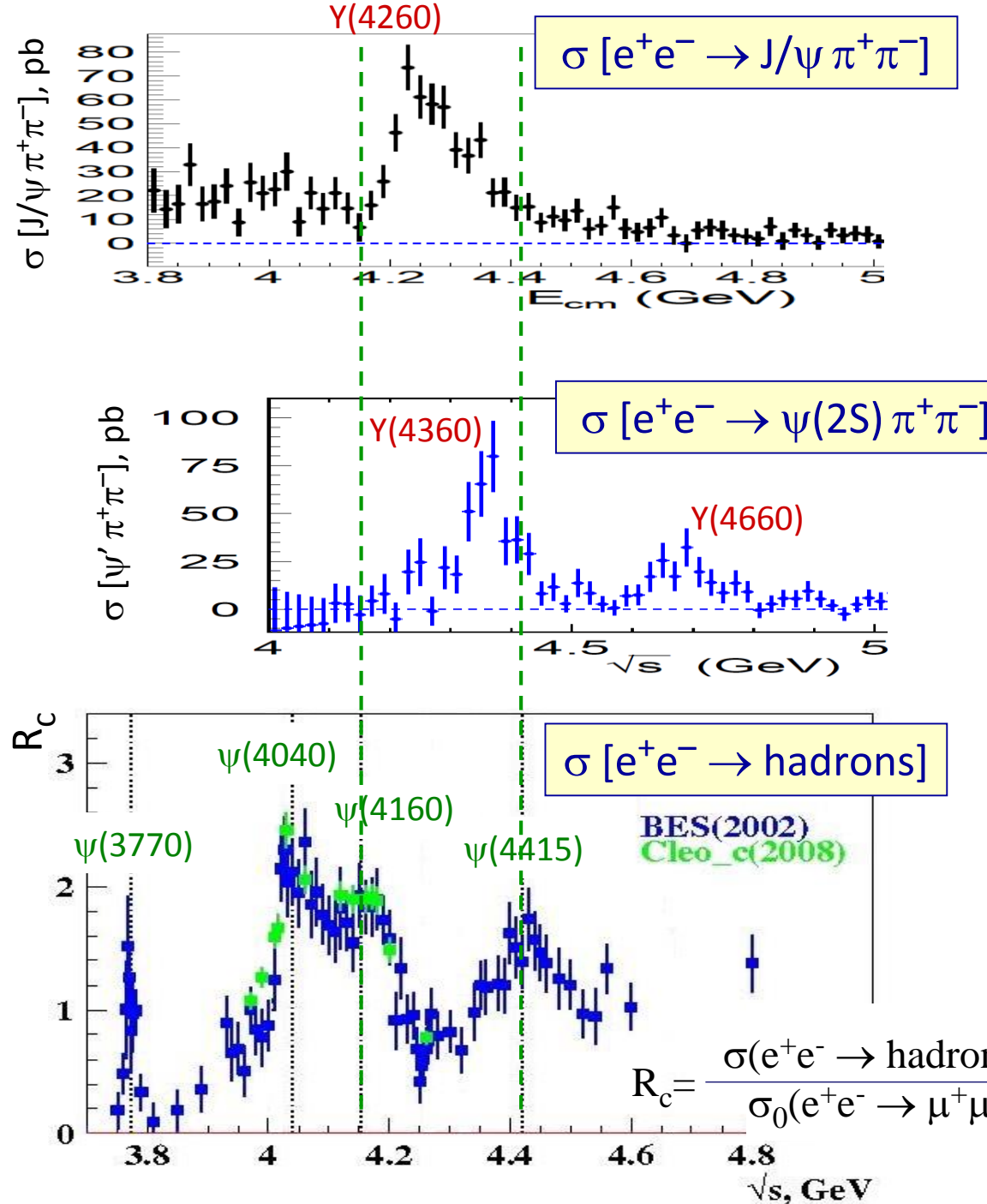
BaBar PRD86,051102R(2012)
Belle PRL110,252002(2013)
BaBar PRD89,111103(2014)
Belle PRD91,112007(2015)

Неожиданности:

1. Y-состояния распадаются только по одному каналу.

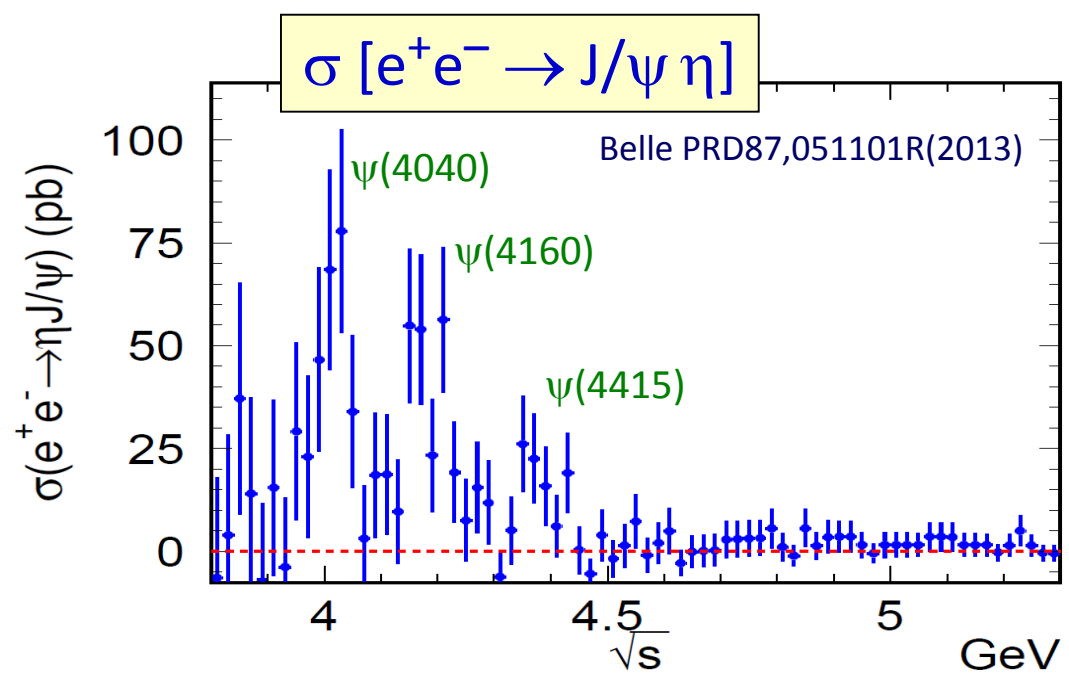
Сечения в области чармонания

BaBar PRD86,051102R(2012)
 Belle PRL110,252002(2013)
 BaBar PRD89,111103(2014)
 Belle PRD91,112007(2015)

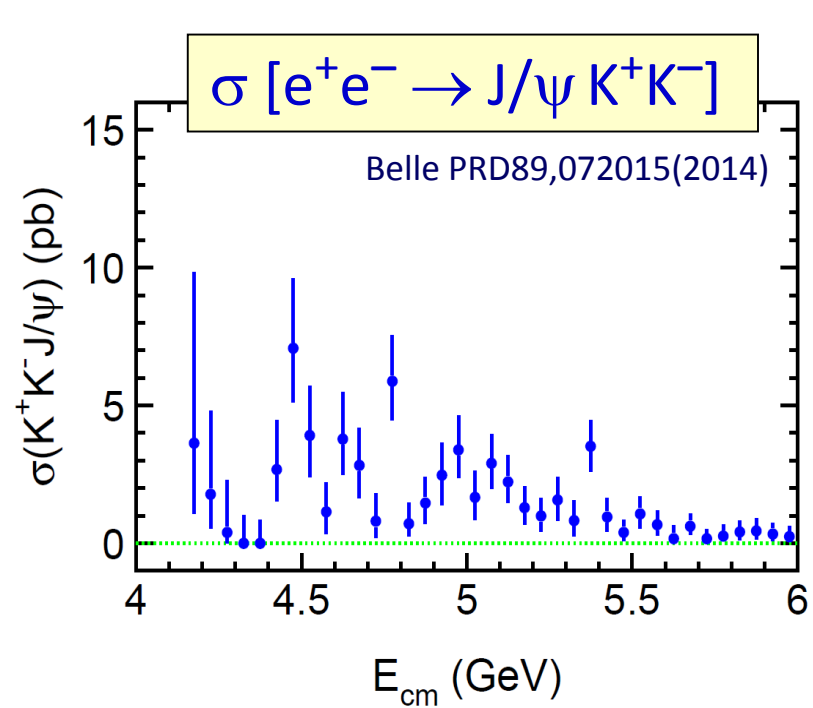


Неожиданности:

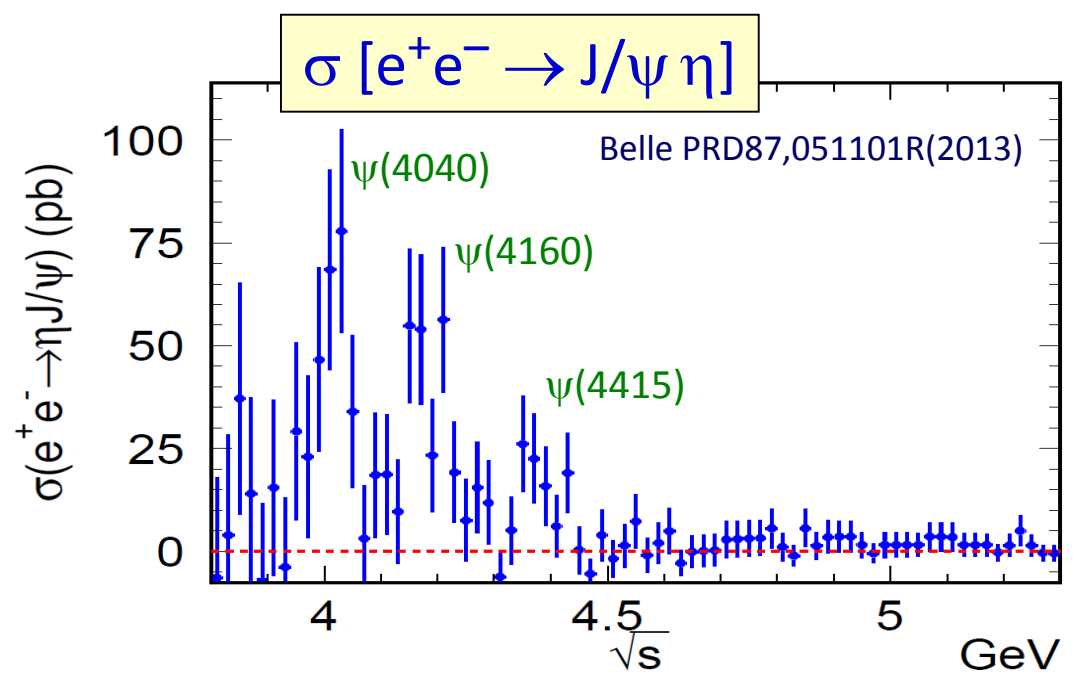
1. Υ -состояния распадаются только по одному каналу.
2. Υ -состояния не видны в полном сечении.



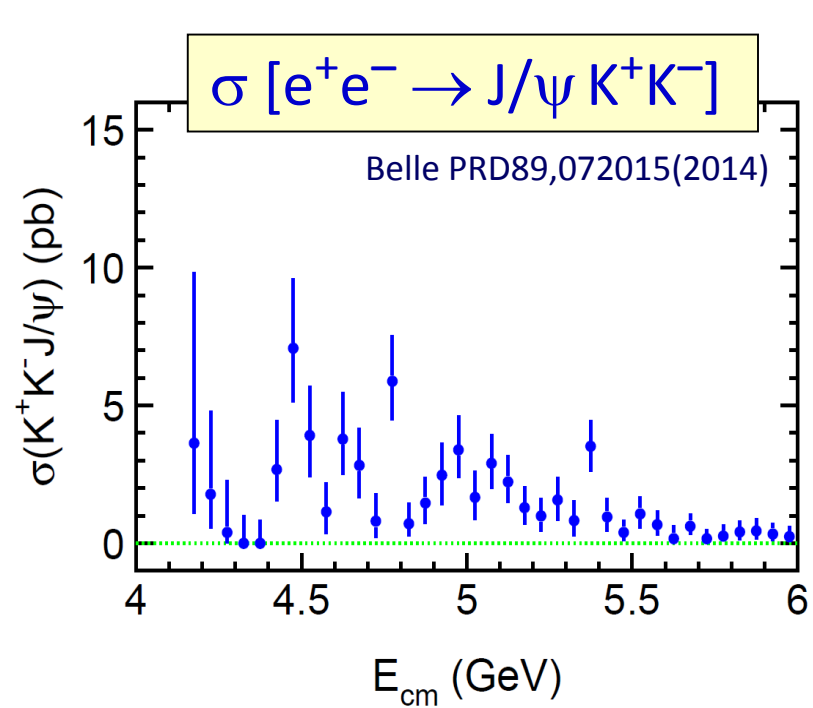
$\Rightarrow \psi(4040), \psi(4160), \psi(4415)$



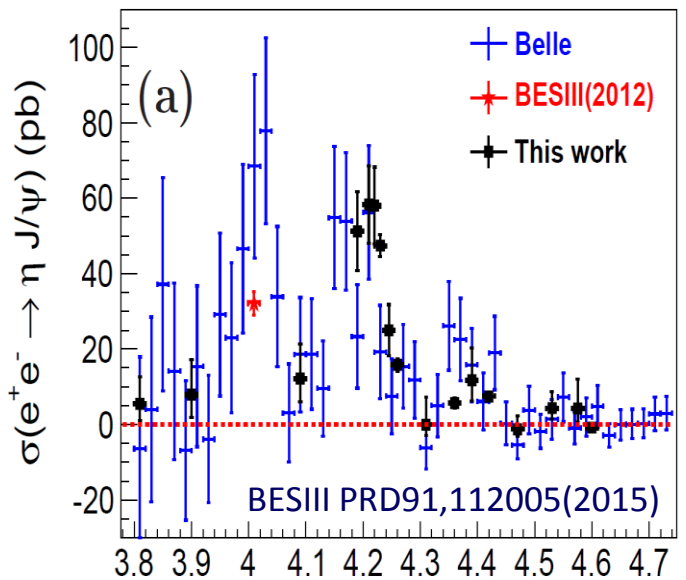
\Rightarrow новые Υ -состояния



$\Rightarrow \psi(4040), \psi(4160), \psi(4415)$

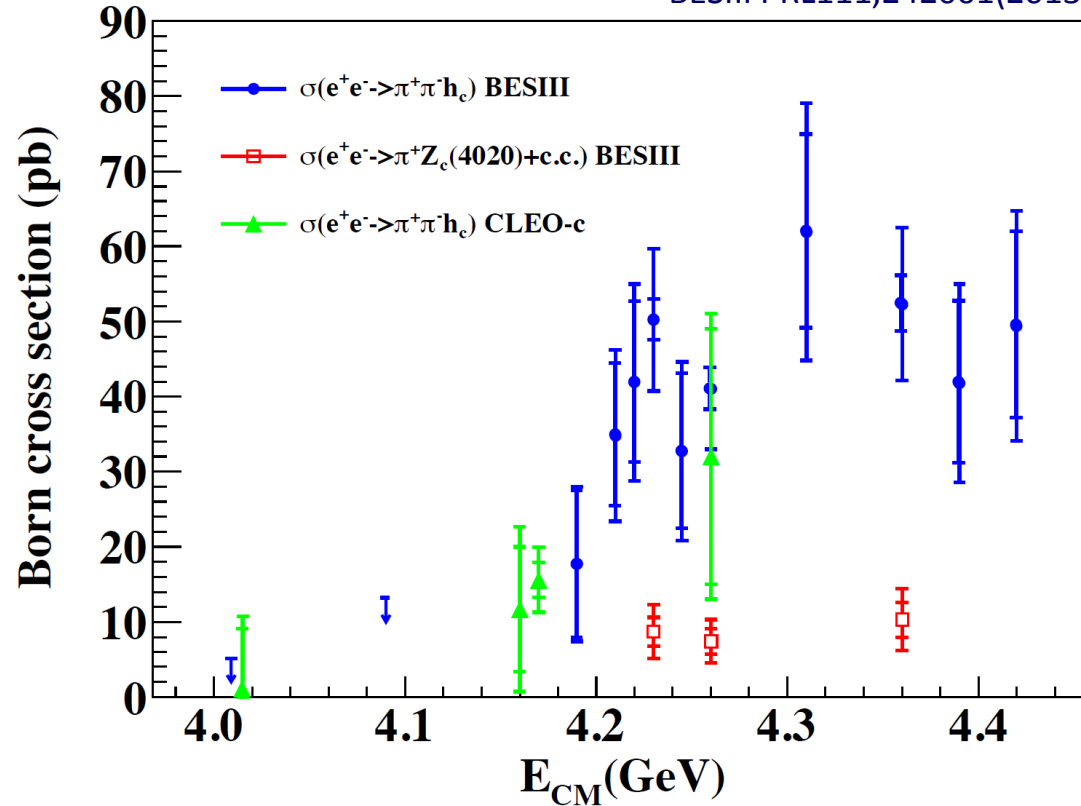


\Rightarrow новые Υ -состояния



$$\sigma [e^+e^- \rightarrow h_c \pi^+\pi^-]$$

BESIII PRL111,242001(2013)



⇒ нерезонансное рождение

Векторные чармониеподобные состояния

Все сечения $e^+ e^- \rightarrow \text{charmonium} + \text{light hadrons}$
имеют различные формы

Каждое состояние Υ или ψ распадается только по одному каналу:

$$\Upsilon(4260) \rightarrow J/\psi \pi^+ \pi^-$$

$$\Upsilon(4360) \rightarrow \psi(2S) \pi^+ \pi^-$$

$$\Upsilon(4660) \rightarrow \psi(2S) \pi^+ \pi^-$$

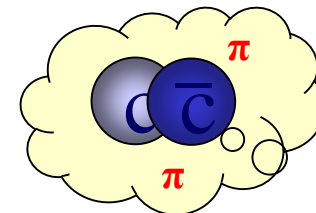
$$\psi(4040) \rightarrow J/\psi \eta, \text{open charm}$$

$$\psi(4160) \rightarrow J/\psi \eta, \text{open charm}$$

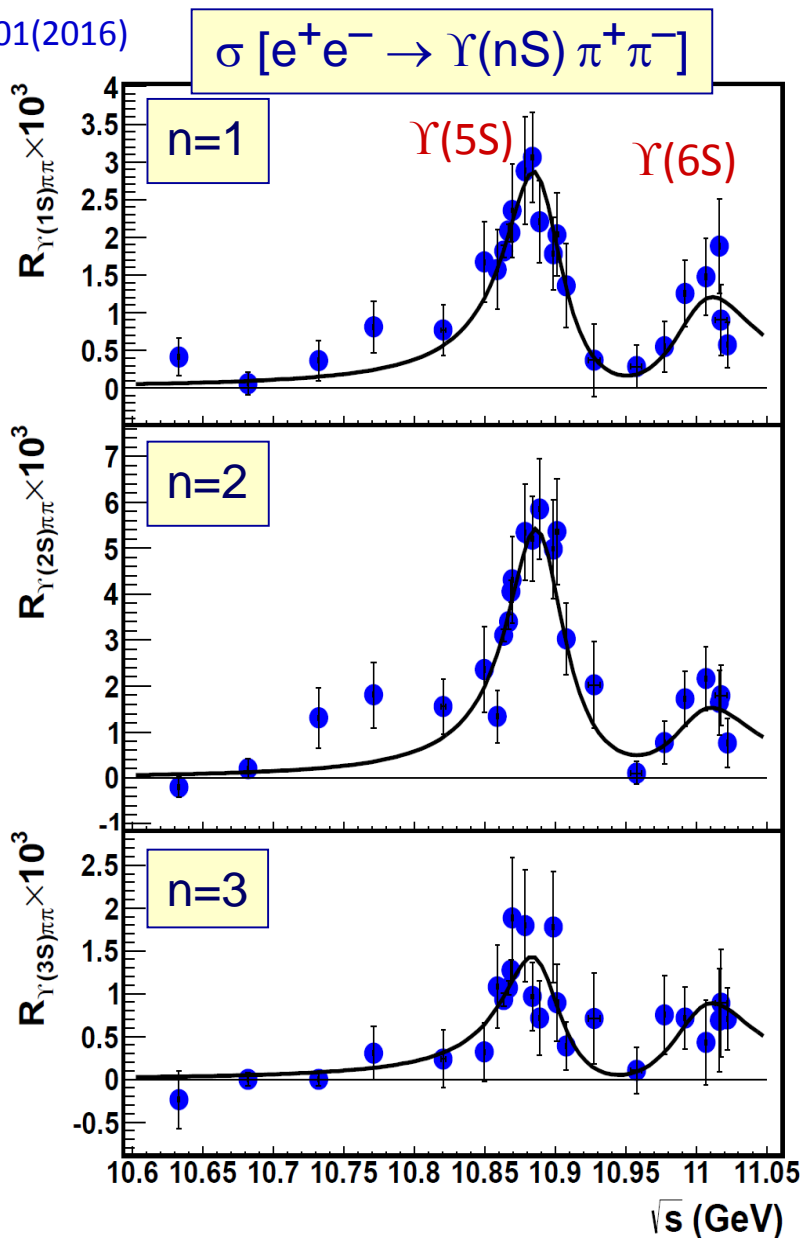
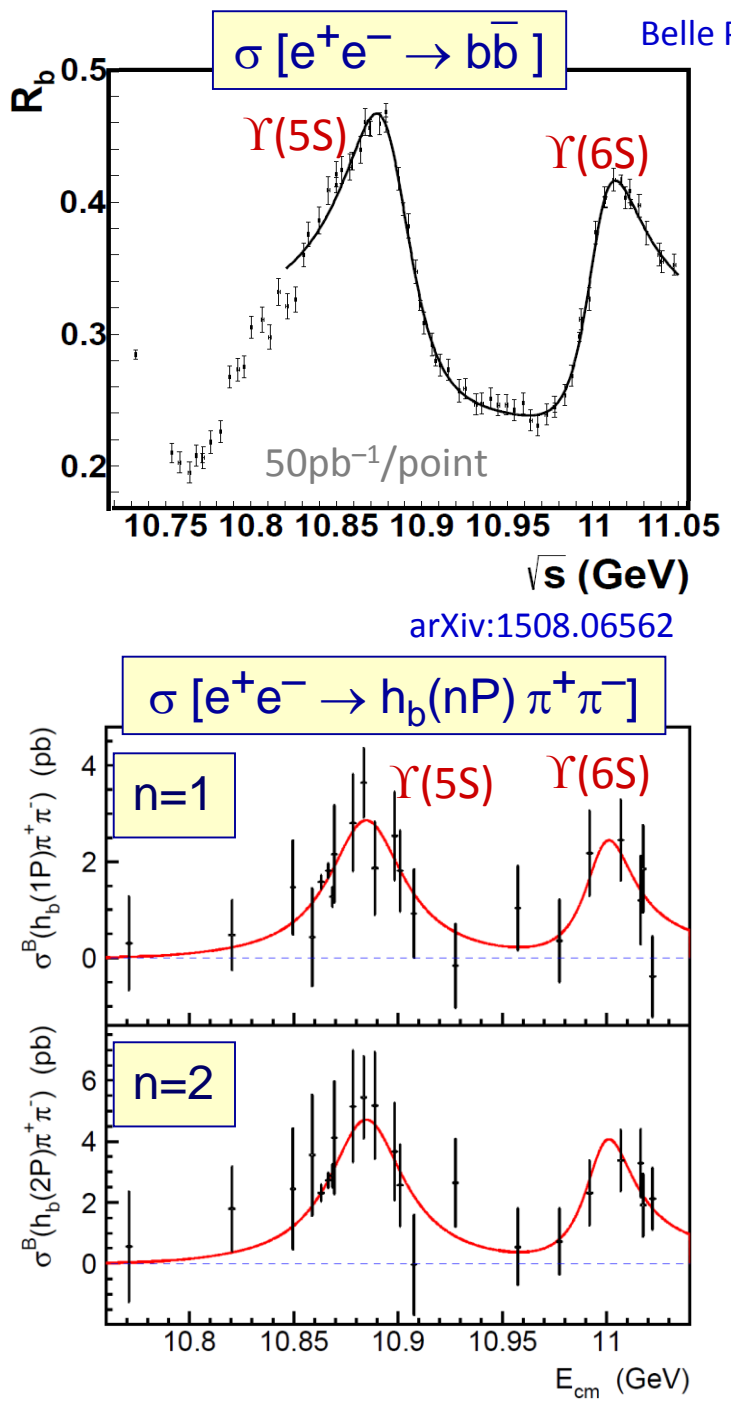
$$\psi(4415) \rightarrow J/\psi \eta, \text{open charm}$$

Адрочармоний

чармний в облаке легких адронов,
распадается на составляющие



Dubynskiy, Voloshin, PLB666,344(2008)



⇒ сигналы $\Gamma(5S)$ и $\Gamma(6S)$

Векторные боттомоны и подобные состояния

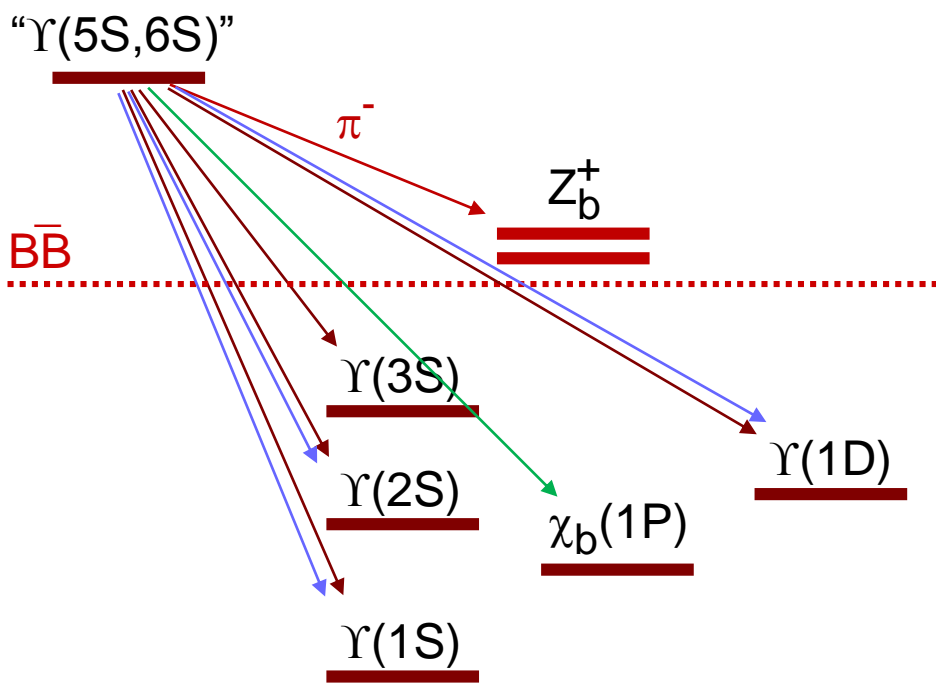
$\Upsilon(5S) \rightarrow$ open bottom (dominant),
 $\Upsilon(6S) \rightarrow$ $\Upsilon(1S,2S,3S) \pi^+ \pi^-$,
 $\Upsilon(1S,2S) \eta$,
 $\Upsilon(1S) K^+ K^-$,
 $\Upsilon(1D) \pi^+ \pi^-$,
 $\Upsilon(1D) \eta$,
 $\chi_{bJ}(1P) \omega$,
 $h_b(1P,2P) \pi^+ \pi^-$

Боттомоний с молекулярной примесью:

$$\text{“}\Upsilon(5S,6S)\text{”} = |b\bar{b}\rangle + |B^{(*)}\bar{B}^{(*)}\rangle$$

Боттомоний

$\pi^+\pi^-$, η , ω transitions



Чармоний

$\pi^+\pi^-$ transitions

Y(4660)

Y(4360)

Y(4260)

D \bar{D}

$\pi^+\pi^-$

$\psi(2S)$

J/ ψ

η transitions

$\psi(4415)$

$\psi(4160)$

$\psi(4040)$

η

J/ ψ

Что отличает чармопий и боттомоний?

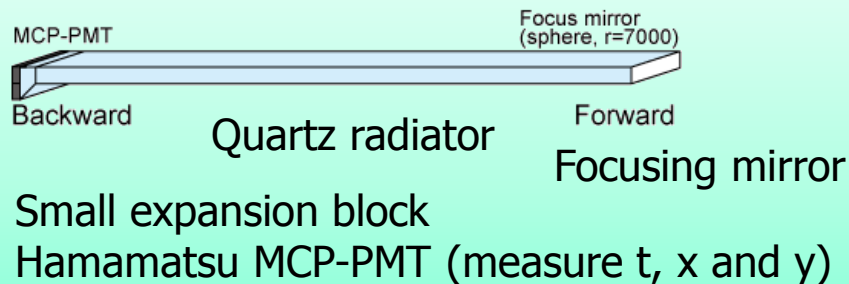
1. $m_c < m_b$
2. различное соотношение между порогами и затравочными уровнями кваркония

Почему картина распадов получается разной?

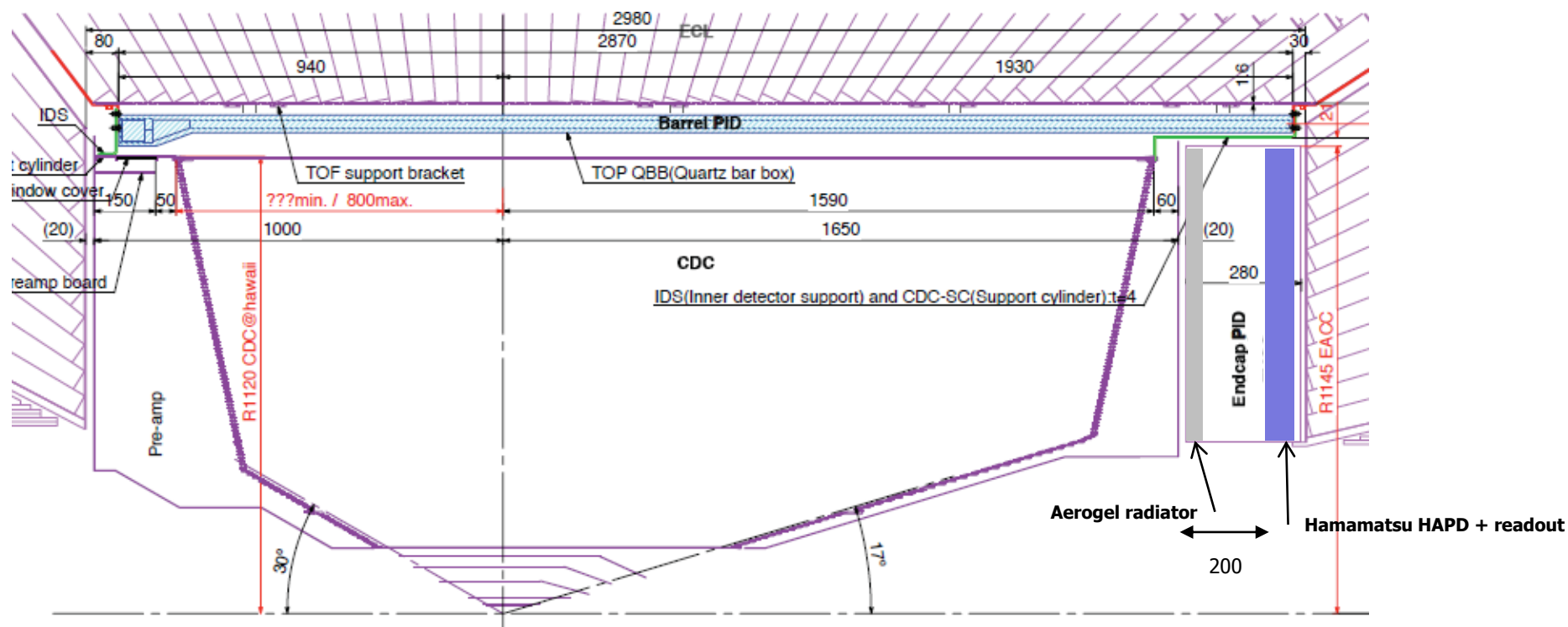
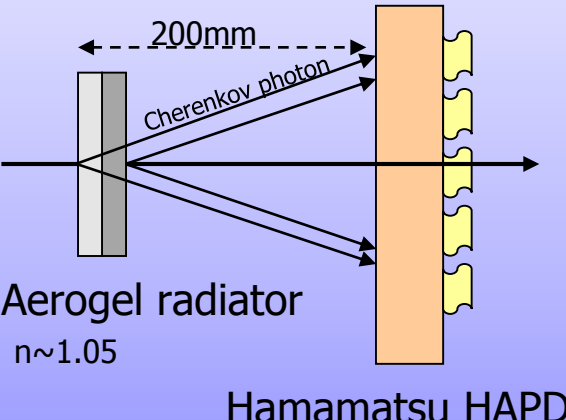
Черенковские детекторы на Belle-II

Cherenkov detectors

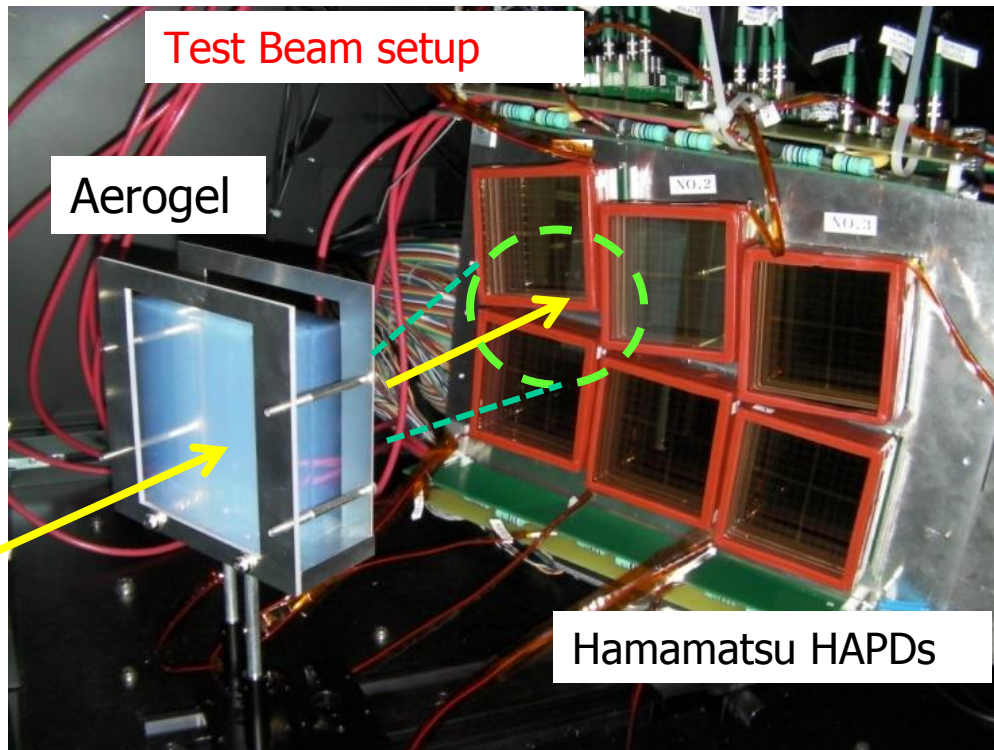
Barrel PID: Time of Propagation Counter (TOP)



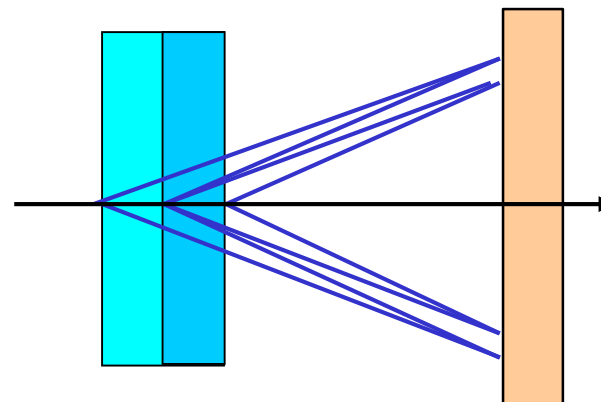
Endcap PID: Aerogel RICH (ARICH)



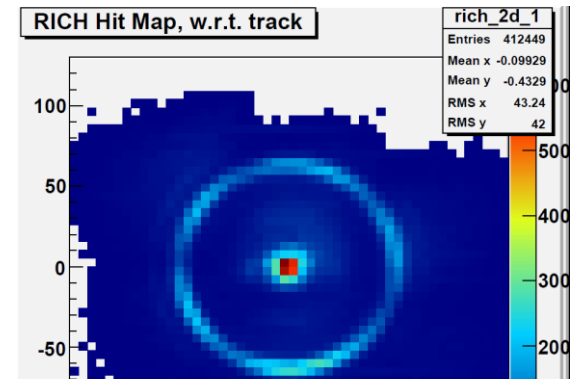
Aerogel RICH (endcap PID)



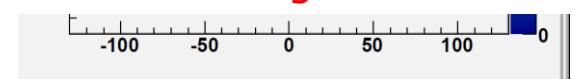
RICH with a novel
“focusing” radiator –
a two layer radiator



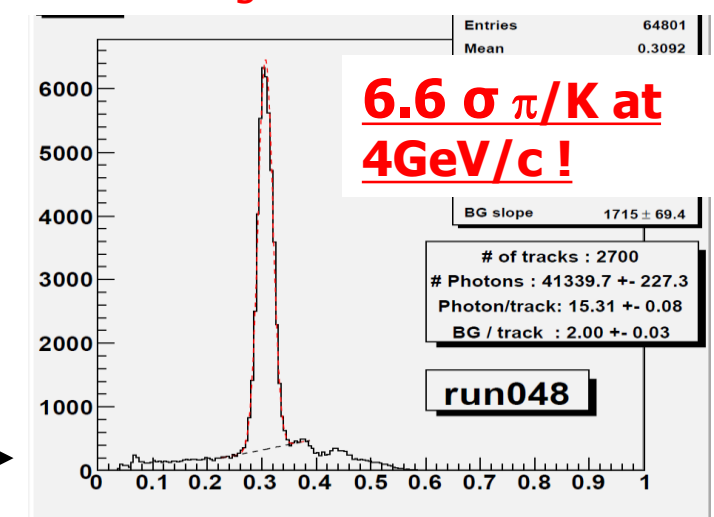
Employ multiple layers with
different refractive indices →
Cherenkov images from
individual layers overlap on the
photon detector.



Clear Cherenkov image observed

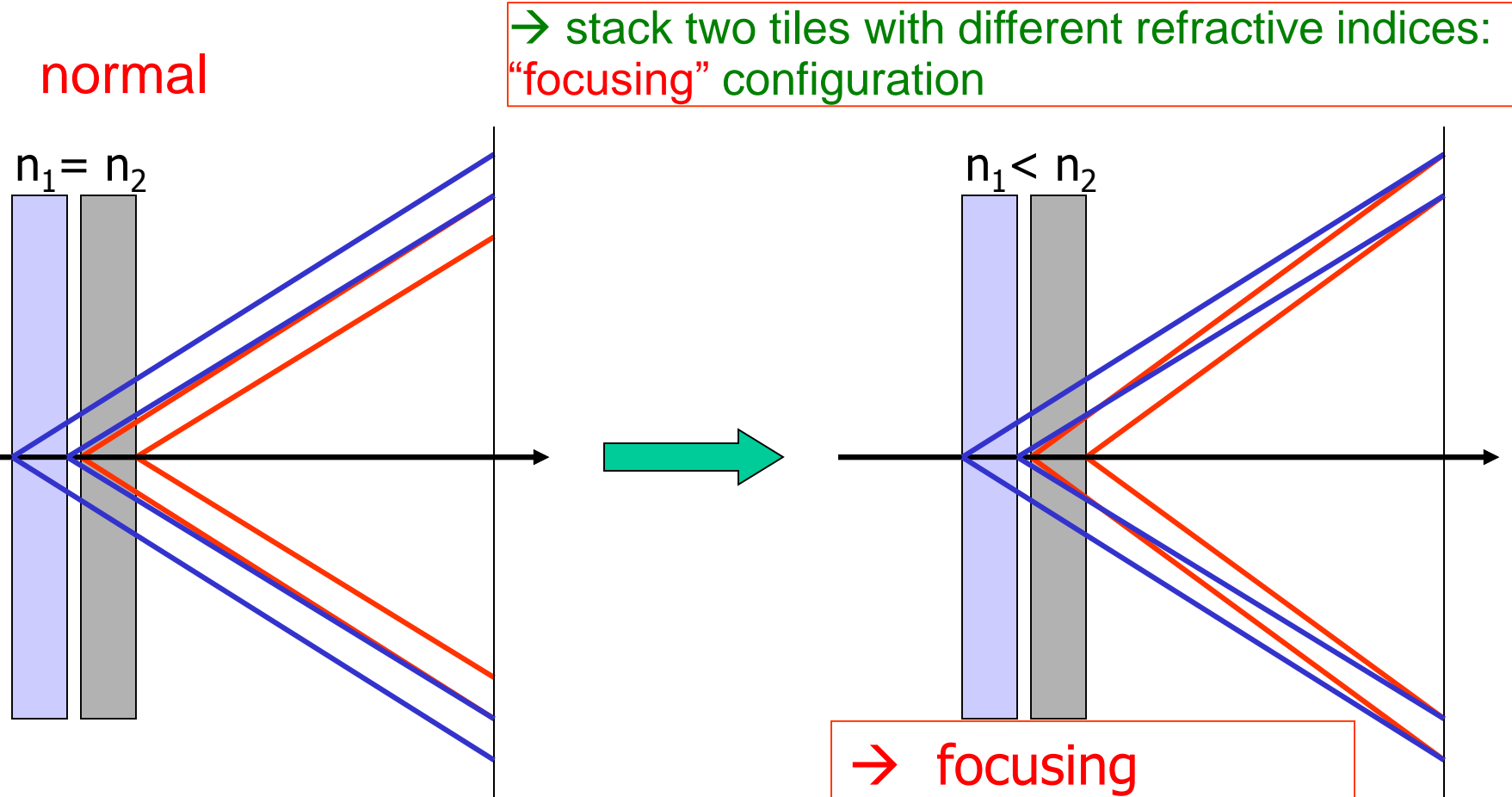


Cherenkov angle distribution



Radiator with multiple refractive indices

How to increase the number of photons without degrading the resolution?

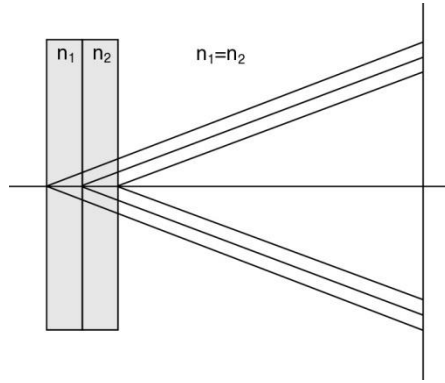


Such a configuration is only possible with aerogel (a form of Si_xO_y) – material with a tunable refractive index between 1.01 and 1.13.

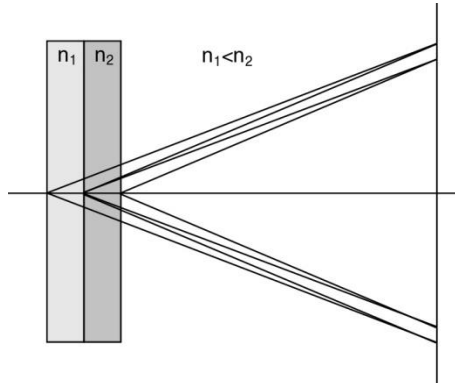
Focusing configuration – data

Increases the number of photons without degrading the resolution

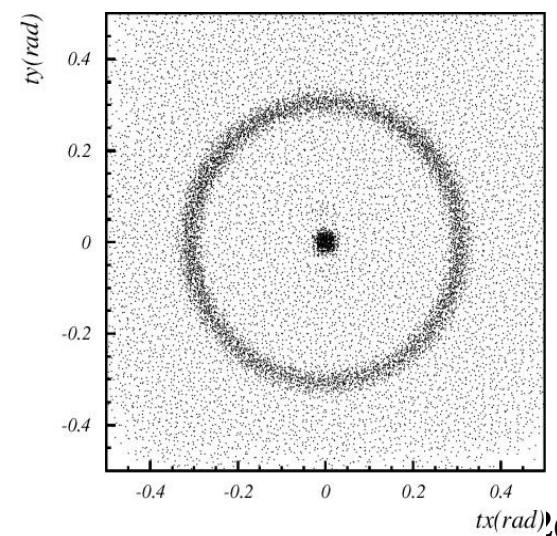
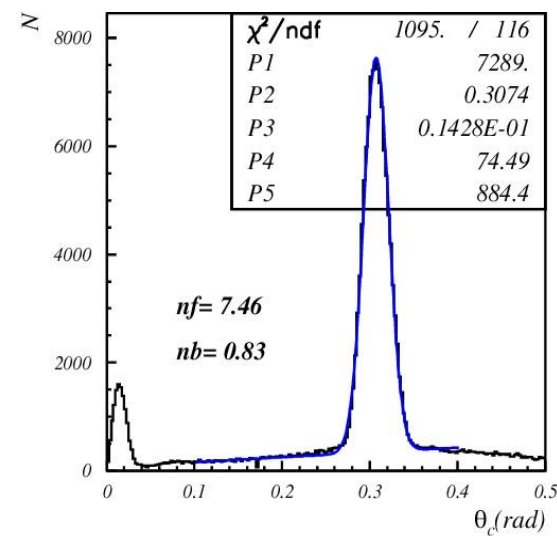
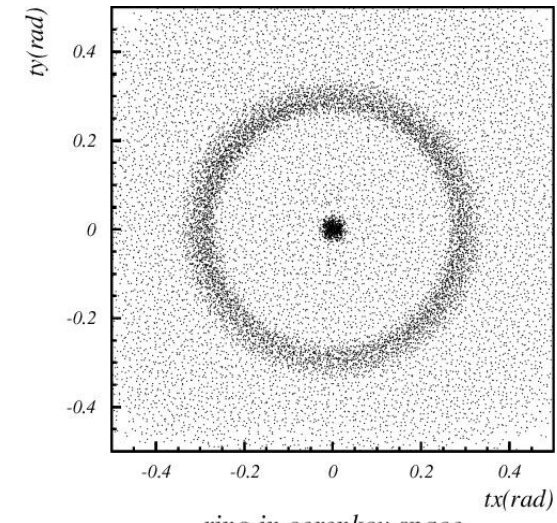
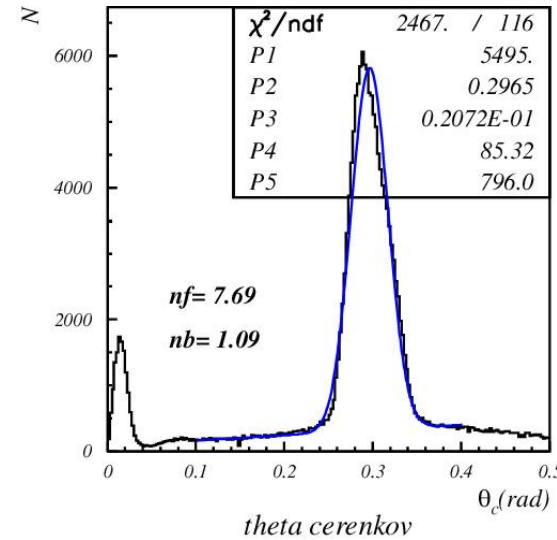
4cm aerogel single index



2+2cm aerogel

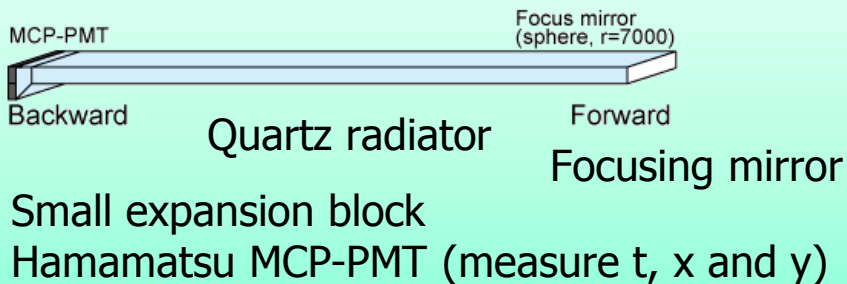


→NIM A548 (2005) 383

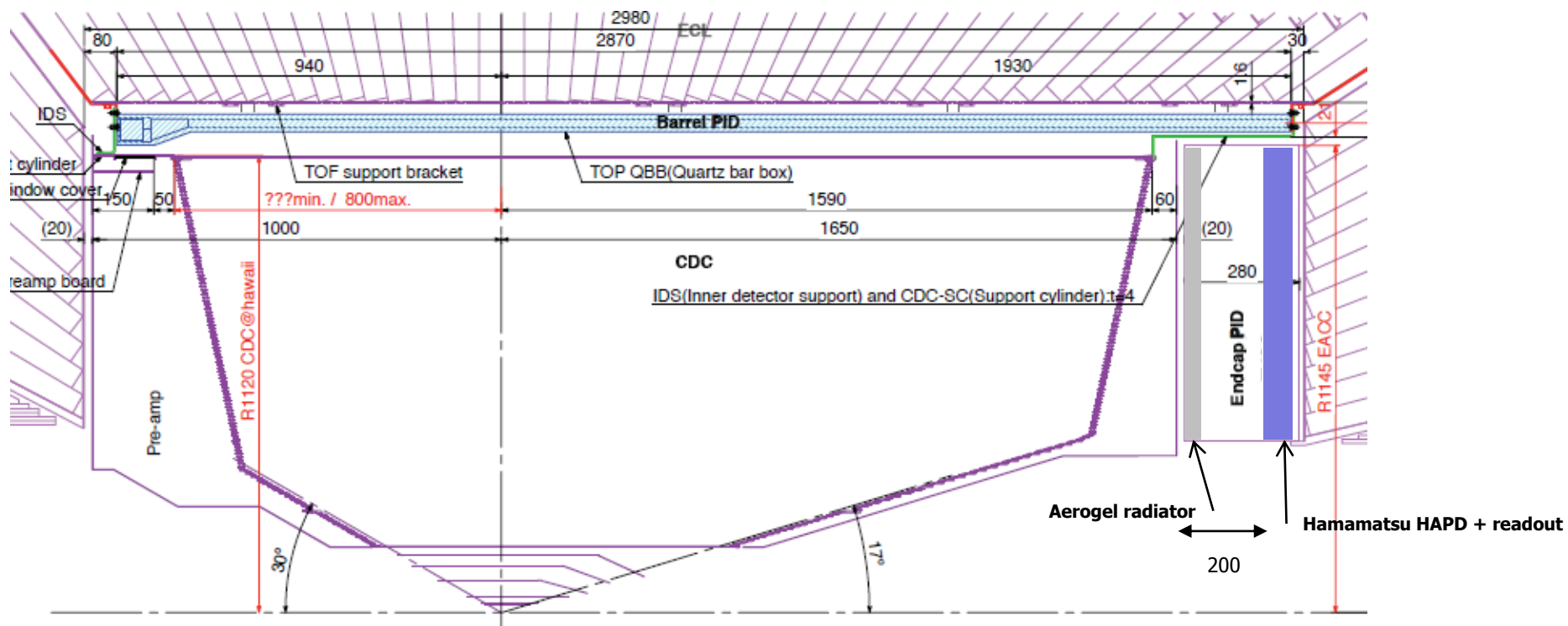
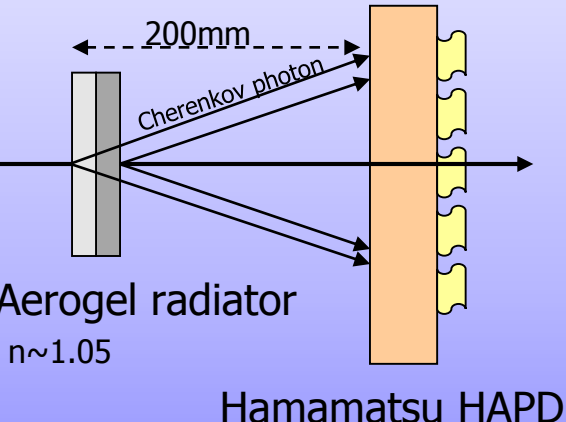


Cherenkov detectors

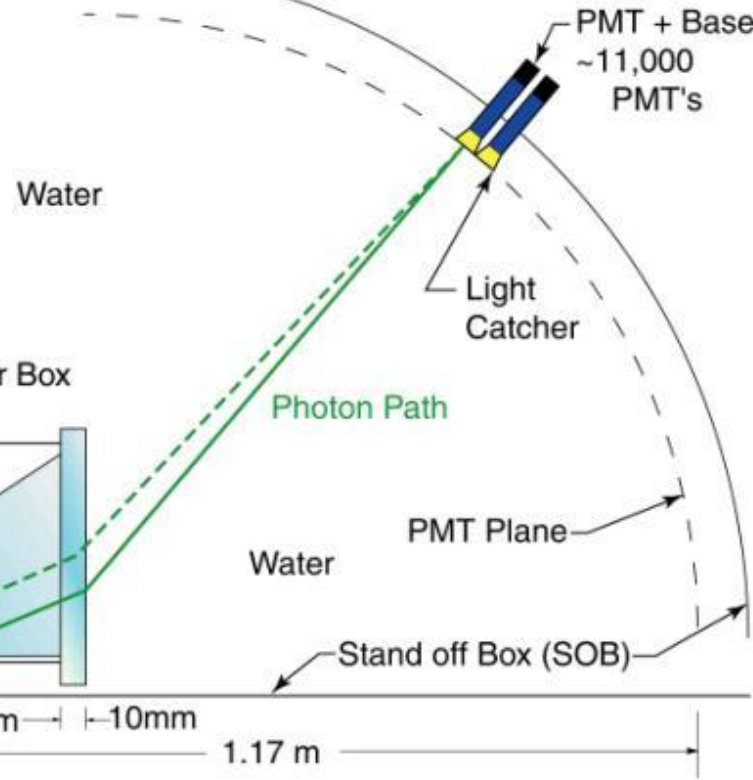
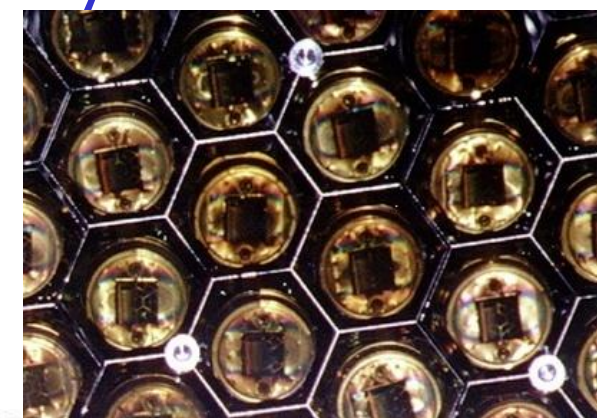
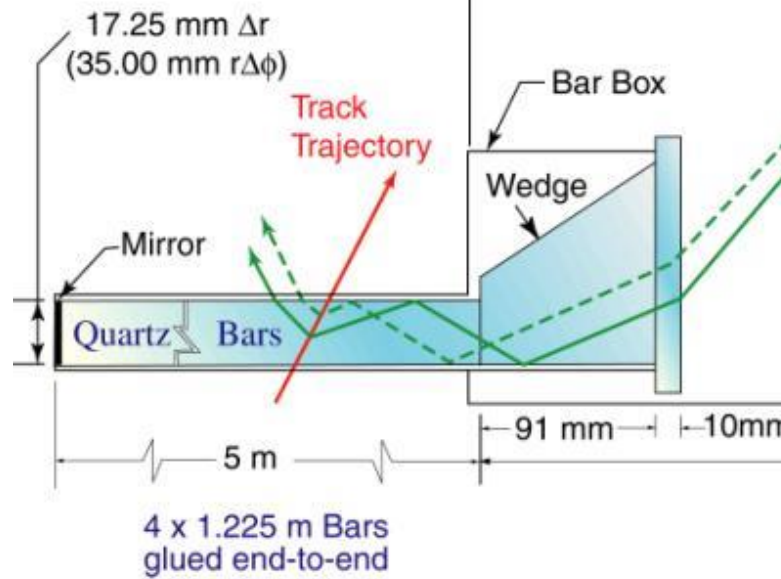
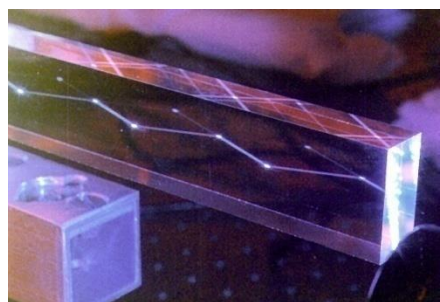
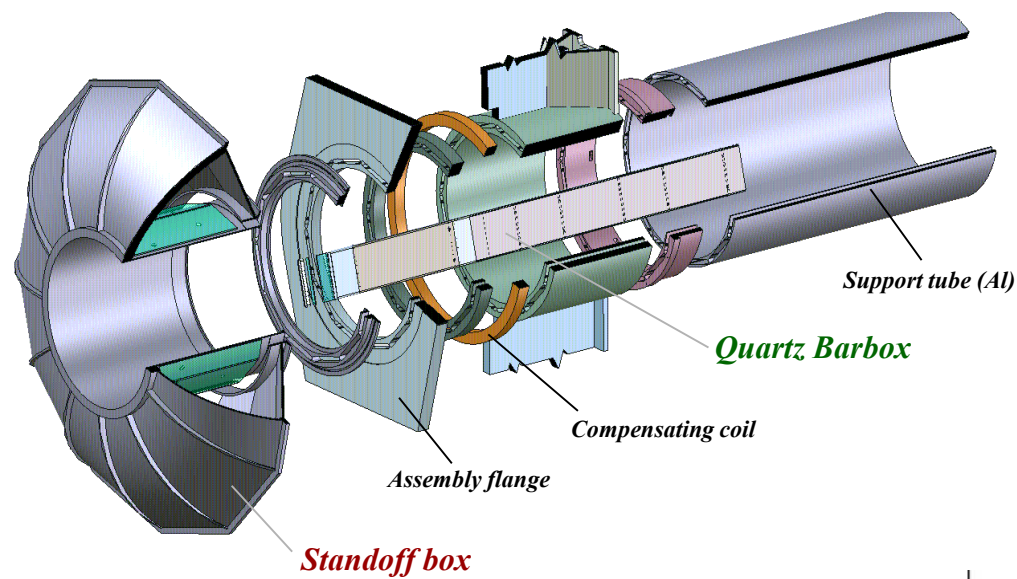
Barrel PID: Time of Propagation Counter (TOP)



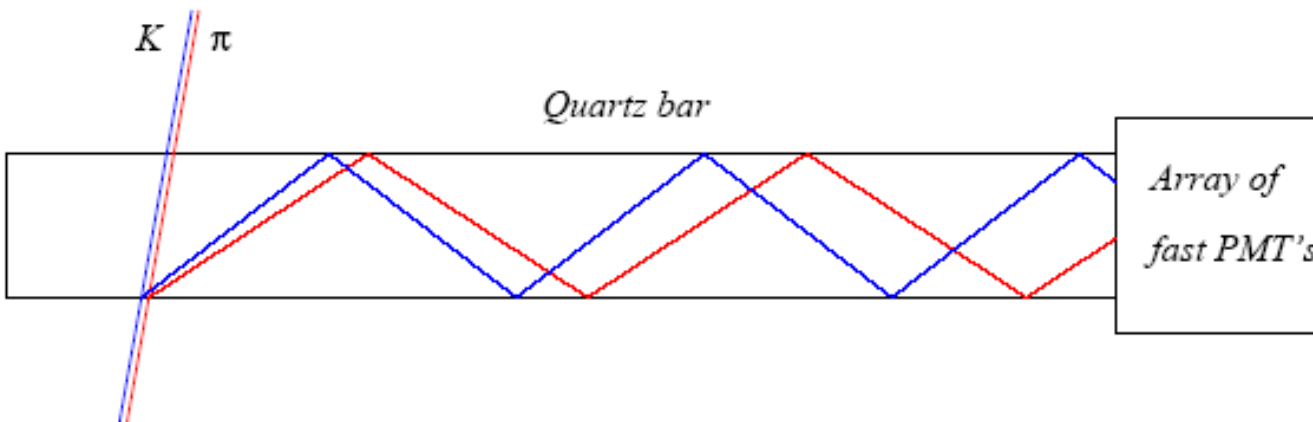
Endcap PID: Aerogel RICH (ARICH)



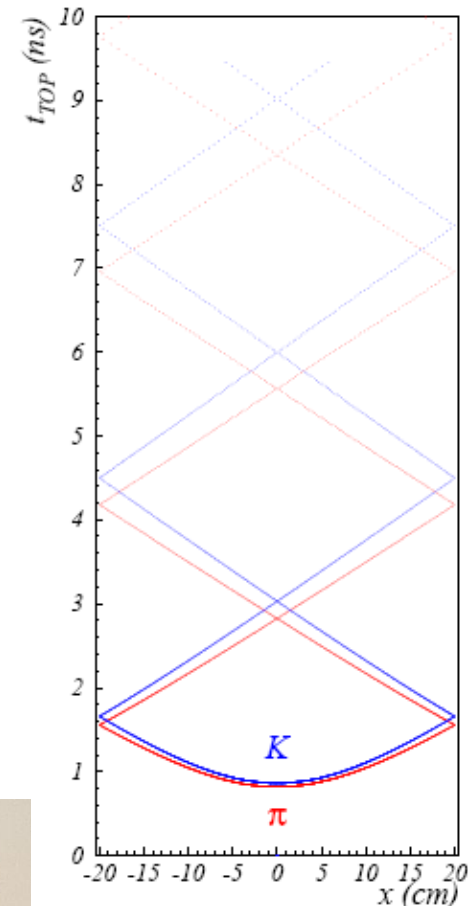
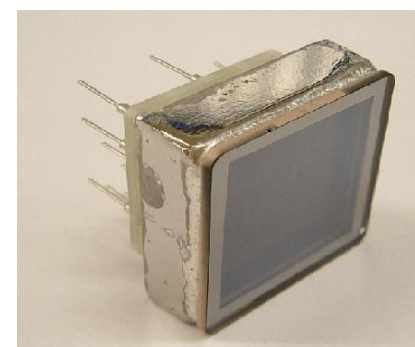
DIRC (@BaBar) - detector of internally reflected Cherenkov light



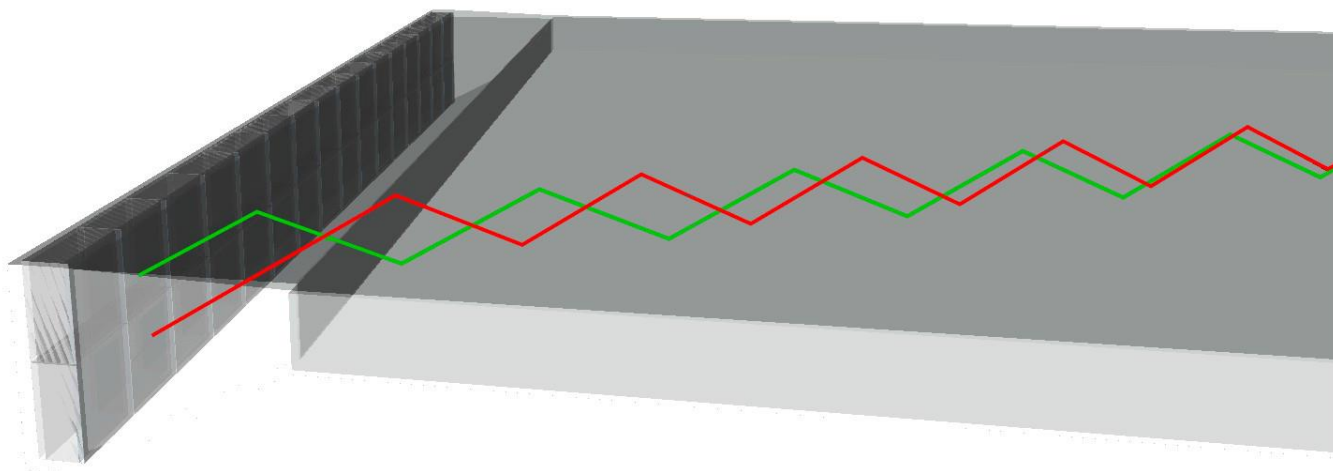
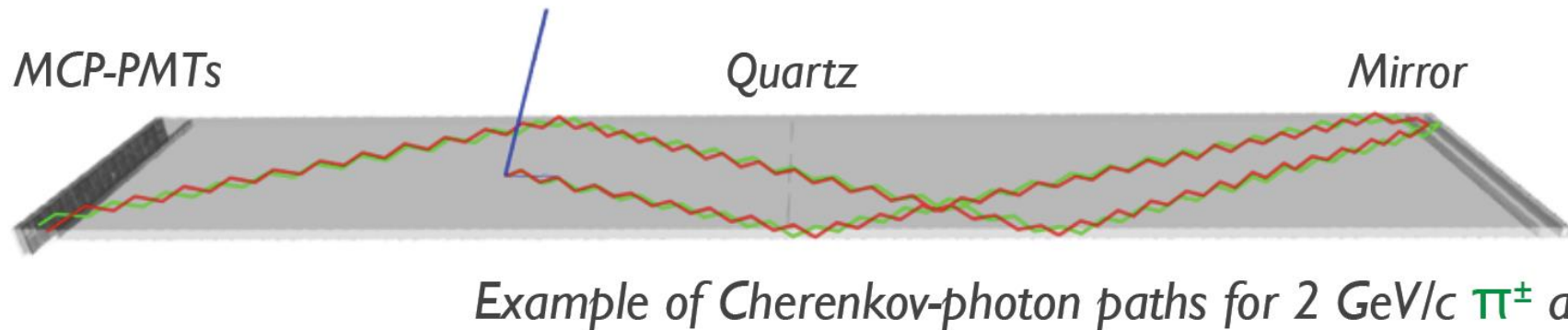
Belle II Barrel PID: Time of propagation (TOP) counter



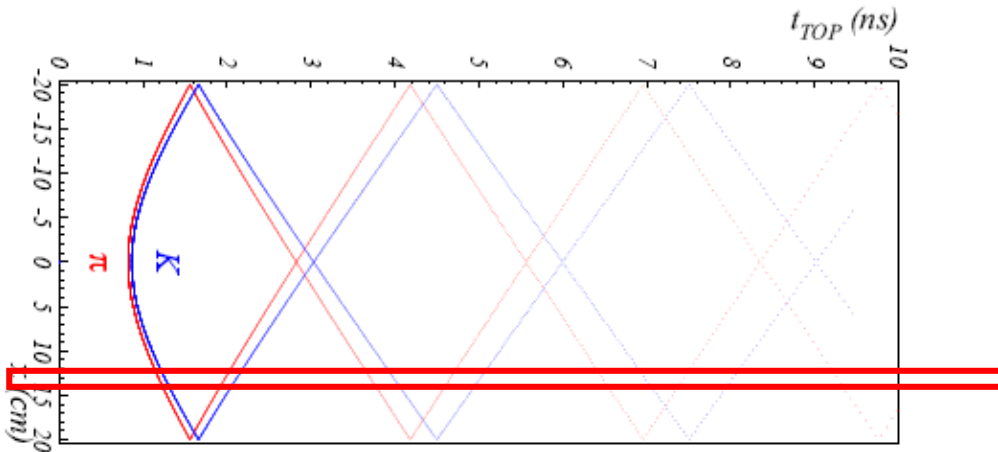
- Cherenkov ring imaging with precise time measurement.
- Uses internal reflection of Cherenkov ring images from quartz like the BaBar DIRC.
- Reconstruct Cherenkov angle from two hit coordinates and the time of propagation of the photon
 - Quartz radiator (2cm thick)
 - Photon detector (MCP-PMT)
 - Excellent time resolution ~ 40 ps



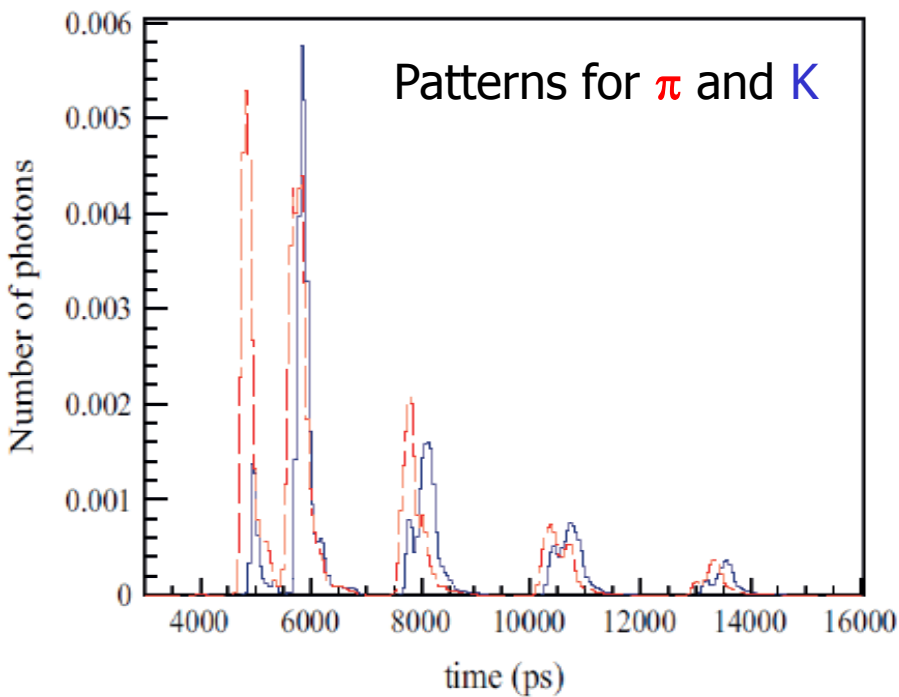
Barrel PID: Time of propagation (TOP) counter



TOP image



Pattern in the coordinate-time space ('ring') of a pion and kaon hitting a quartz bar



Time distribution of signals recorded by one of the PMT channels: different for π and K (~shifted in time)

Заключение

Заряженные состояния $Z_b(10610)$ и $Z_b(10650)$ имеют молекулярную структуру $B\bar{B}^*$ и $B^*\bar{B}^*$, являются виртуальными.

Векторные состояния:

боттомоний: молекулярная примесь

чармоний: адрокварконий ?

причина различия?

Активные исследования в этой области ведутся на Belle, BESIII, LHC, планируются на Belle-II, PANDA, Super-ст-фабрике.

На Belle-II будут использоваться инновационные черенковские детекторы: Time Of Propagation (TOP) counter и фокусирующий Aerogel RICH.

Back-up

X(3872)
 $M = 3871.69 \pm 0.17 \text{ MeV}$
 $\Gamma < 1.2 \text{ MeV}$

 вблизи порога $D^0\bar{D}^{*0}$
 $\delta M = -0.11 \pm 0.21 \text{ MeV}$

Известные распады:

$J/\psi \rho^0 (\rightarrow \pi^+ \pi^-)$	1	нарушение изоспиновой симметрии
$J/\psi \omega$	0.8 ± 0.3	
$J/\psi \gamma$	0.21 ± 0.06	
$\psi(2S) \gamma$	0.50 ± 0.15	
$D^0\bar{D}^{*0}$	~ 10	

Интерпретация: смесь чармония и молекулы

Takizawa, Takeuchi PTEP2013,0903D01

$$|X\rangle = \underbrace{0.237 |c\bar{c}\rangle}_{\text{нарушение изоспина}} - \underbrace{0.944 |D^0\bar{D}^{*0}\rangle}_{\text{нарушение изоспина}} - 0.228 |D^+\bar{D}^{*-}\rangle$$

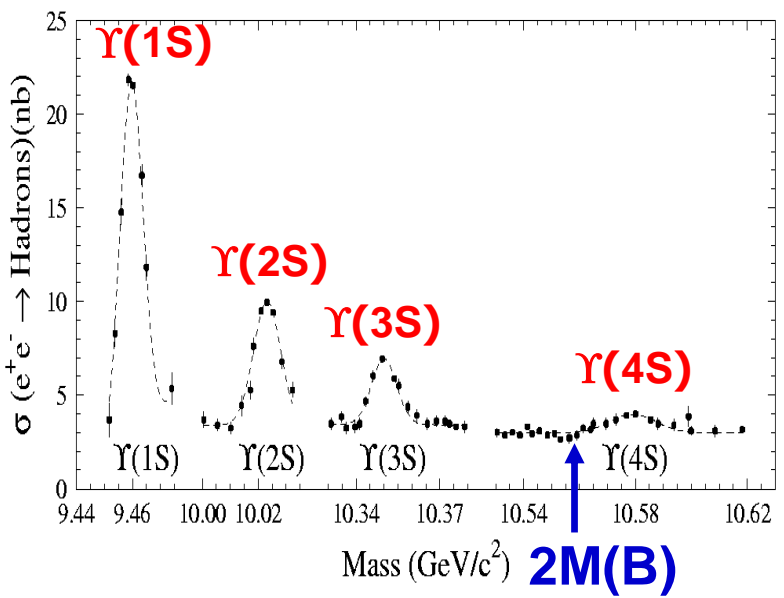
рождение при высоких энергиях:

 $B \rightarrow X K, pp \rightarrow X \dots$

нарушение изоспина

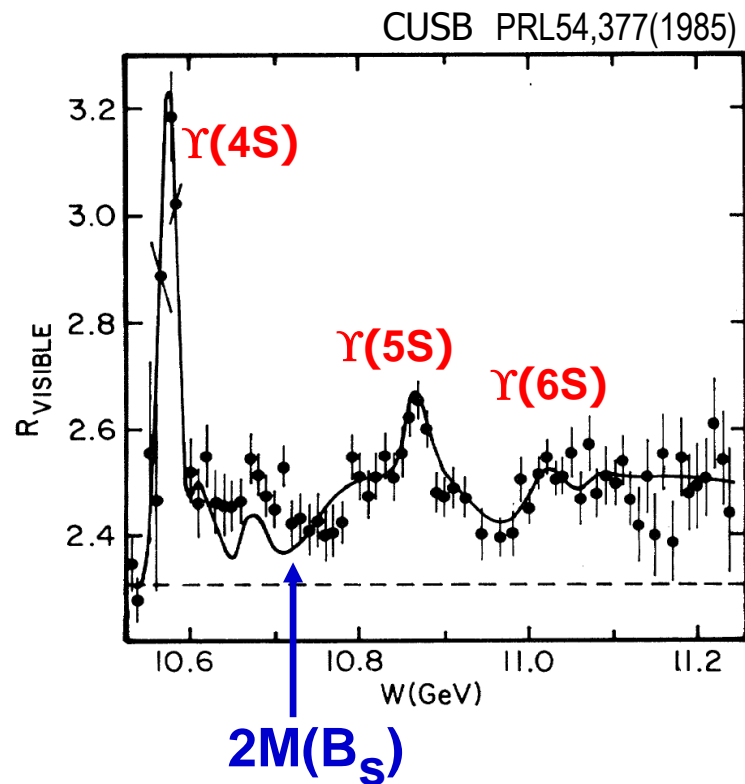
 Связанное или виртуальное состояние? \Rightarrow Из-за малой ширины изучение
 формы линии недоступно для современных экспериментов \Leftarrow PANDA ?

e^+e^- сечение вблизи 10ГэВ



$e^+e^- \rightarrow \Upsilon(4S) \rightarrow B\bar{B}$

BaBar 433 fb^{-1} + Belle 711 fb^{-1}



$e^+e^- \rightarrow b\bar{b} (\Upsilon(5S)) \rightarrow B\bar{B}, B\bar{B}^*, B^*\bar{B}^*, B\bar{B}^*\pi, B^*\bar{B}^*\pi, B_s^{(*)}\bar{B}_s^{(*)}, \dots$

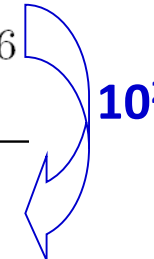
Belle 121 fb^{-1}

первоначальная мотивация

Belle 2007: observation of $e^+e^- \rightarrow \Upsilon(nS)\pi^+\pi^-$ processes @ $\Upsilon(5S)$
with anomalously high cross sections

assuming $\Upsilon\pi\pi$
originate from
 $\Upsilon(5S)$ decays

	PRL100,112001(2008)	$\Gamma(\text{MeV})$
$\Upsilon(5S) \rightarrow \Upsilon(1S)\pi^+\pi^-$	0.59 \pm 0.04 \pm 0.09	
$\Upsilon(5S) \rightarrow \Upsilon(2S)\pi^+\pi^-$	0.85 \pm 0.07 \pm 0.16	
$\Upsilon(5S) \rightarrow \Upsilon(3S)\pi^+\pi^-$	$0.52^{+0.20}_{-0.17} \pm 0.10$	
<hr/>		
$\Upsilon(2S) \rightarrow \Upsilon(1S)\pi^+\pi^-$	0.0060	
$\Upsilon(3S) \rightarrow \Upsilon(1S)\pi^+\pi^-$	0.0009	
$\Upsilon(4S) \rightarrow \Upsilon(1S)\pi^+\pi^-$	0.0019	



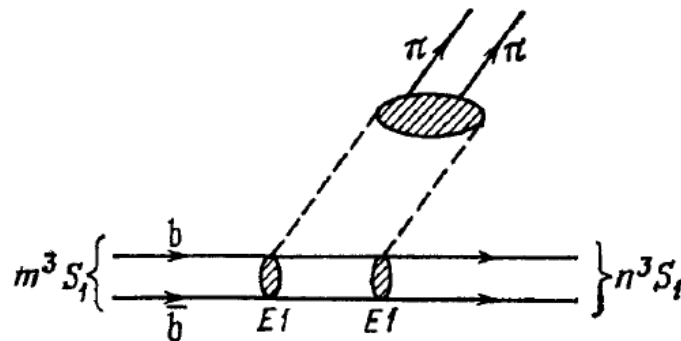
⇒ Perform energy scan of $\sigma[\Upsilon(nS)\pi^+\pi^-]$
to search for Υ_b states

2007 : 6 points, 1fb^{-1} each
2010 : 16 points, 1fb^{-1} each

⇒

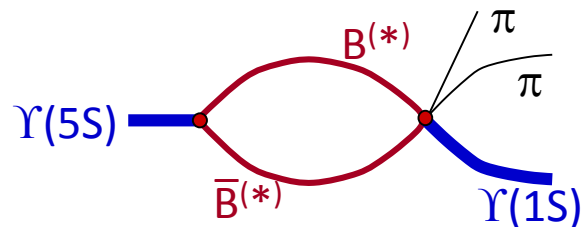
Mechanism for OZI rule violation

Bottomonium: emission of two gluons, OZI suppressed



Source size \ll gluon wave length
⇒ QCD multipole expansion.

Molecule: rescattering of on-shell B mesons



Simonov JETP Lett 87,147(2008)
Meng Chao PRD77,074003(2008)

⇐ Enhanced if $B^{(*)}\bar{B}^{(*)}$ are on-shell

$\pi^+\pi^-$ vs. η transitions

$$R(n,m) = \frac{\Gamma[\Upsilon(nS) \rightarrow \Upsilon(mS) \eta]}{\Gamma[\Upsilon(nS) \rightarrow \Upsilon(mS) \pi^+\pi^-]} \quad \begin{matrix} E1M2 \\ E1E1 \end{matrix}$$

spin-flip of b quark, suppressed by $1/m_b$

$$R(2,1) = (1.64 \pm 0.23) \times 10^{-3}$$

$$R(3,1) < 2.3 \times 10^{-3}$$

$$R(4,1) = 2.41 \pm 0.42, R(5,1) = 0.16 \pm 0.04, R(5,2) = 0.48 \pm 0.10$$

BaBar PRD78,112002(2008)
Belle preliminary

Mechanism of Heavy Quark Spin Symmetry (HQSS) violation?

Voloshin, PRD85,034024(2012)

Assume $\Upsilon(4S)$ has admixture of $B\bar{B}$. Decompose w.f. into eigenstates of $b\bar{b}$ total spin:

$$J^{PC} = 1^{--}$$

$$B\bar{B} : \quad \frac{1}{2\sqrt{3}} \psi_{10} + \frac{1}{2} \psi_{11} + \frac{\sqrt{5}}{2\sqrt{3}} \psi_{12} + \frac{1}{2} \psi_{01}$$

↓ ↓ ↓ ↓

$\Upsilon(1S)\pi^+\pi^-$	$\Upsilon(1S)\eta$	$\Upsilon(1S)\pi^+\pi^-$ in D-wave	$h_b(1P)\eta$ observed $\eta_b(1S)\omega$ predicted
--------------------------	--------------------	---------------------------------------	--

spin of $b\bar{b}$ pair
 angular mom. of light d.o.f.

Molecular admixture in $\Upsilon(4S,5S,6S)$ explains enhanced decay rates and HQSS violation.
Composition of admixture remains unknown.

Belle: further studies of transitions,

decompose R_b into exclusive channels: $BB, BB^*, B^*B^*, BB^*\pi, B^*B^*\pi, B_s B_s, B_s B_s^*, \dots$

Violation of HQSS in $\Upsilon(4S,5S,6S)$ decays

$$\begin{aligned}
 B\bar{B} &: \frac{1}{2\sqrt{3}}\psi_{10} + \frac{1}{2}\psi_{11} + \frac{\sqrt{5}}{2\sqrt{3}}\psi_{12} + \frac{1}{2}\psi_{01} & \text{Voloshin, PRD85,034024(2012)} \\
 \frac{B^*\bar{B} - \bar{B}^*B}{\sqrt{2}} &: \frac{1}{\sqrt{3}}\psi_{10} + \frac{1}{2}\psi_{11} - \frac{\sqrt{5}}{2\sqrt{3}}\psi_{12} \\
 (B^*\bar{B}^*)_{S=0} &: -\frac{1}{6}\psi_{10} - \frac{1}{2\sqrt{3}}\psi_{11} - \frac{\sqrt{5}}{6}\psi_{12} + \frac{\sqrt{3}}{2}\psi_{01} \quad \begin{matrix} \text{b}\bar{b} \text{ pair} \\ \text{light d.o.f.} \end{matrix} \\
 (B^*\bar{B}^*)_{S=2} &: \frac{\sqrt{5}}{3}\psi_{10} - \frac{\sqrt{5}}{2\sqrt{3}}\psi_{11} + \frac{1}{6}\psi_{12}
 \end{aligned}$$

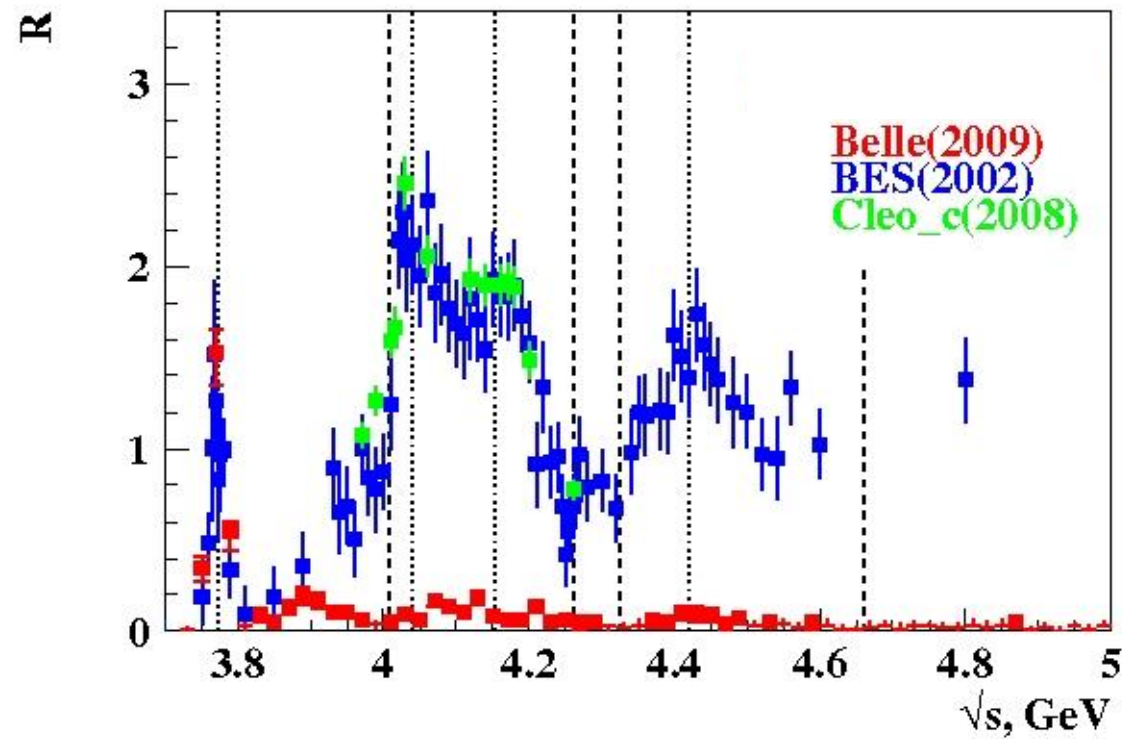
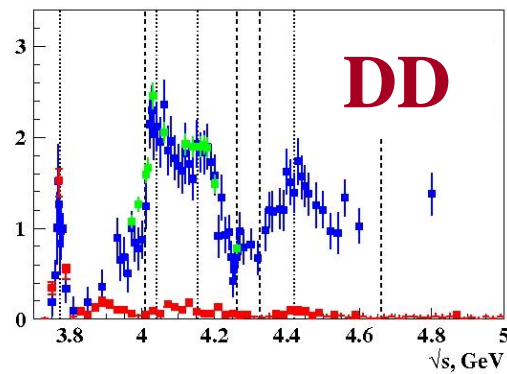
Admixture of mesons near threshold \Rightarrow mechanism for HQSS violation

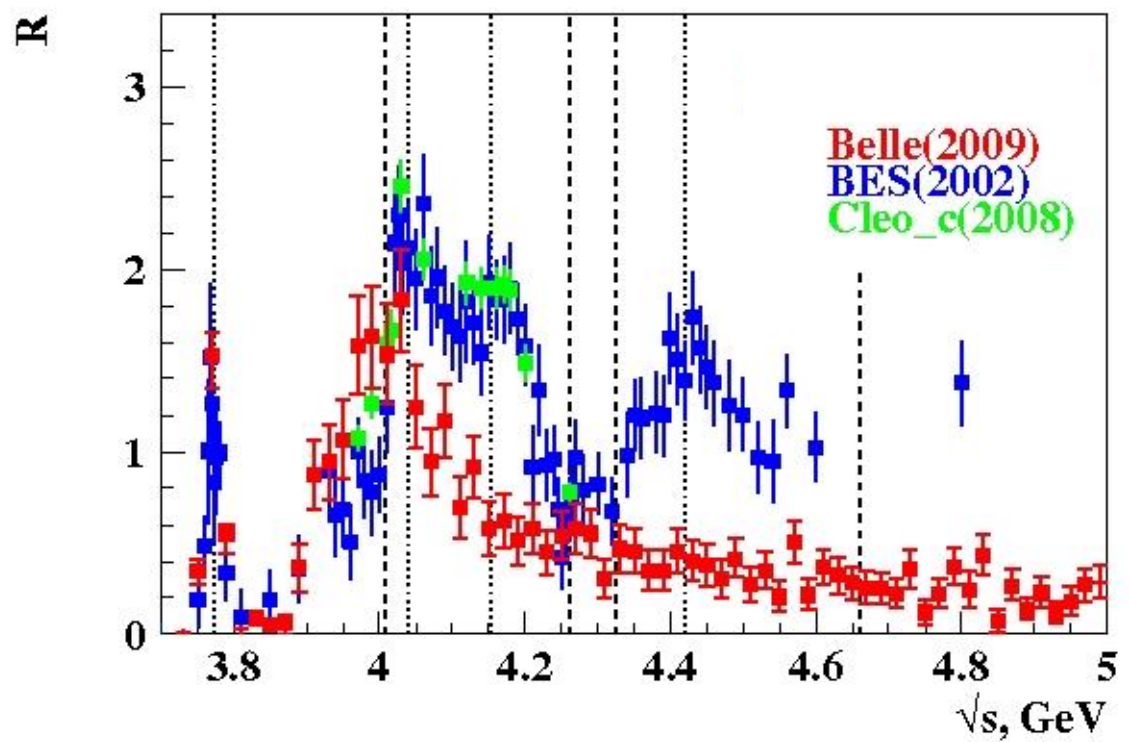
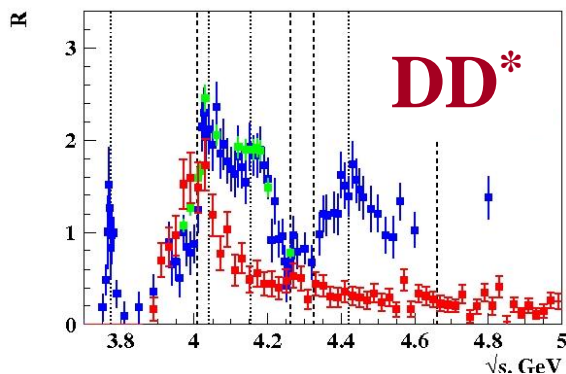
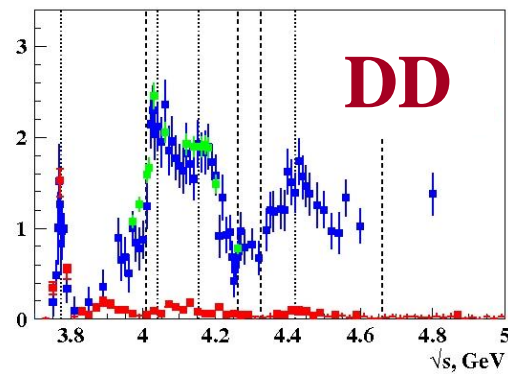
$\Upsilon(4S) : (BB)$ $\psi_{11} \Rightarrow \Upsilon(1S)\eta$, $\psi_{01} \Rightarrow h_b(1P)\eta$;
 prediction: D-wave in $\Upsilon(1S)\pi^+\pi^-$; $\eta_b(1S)\omega$

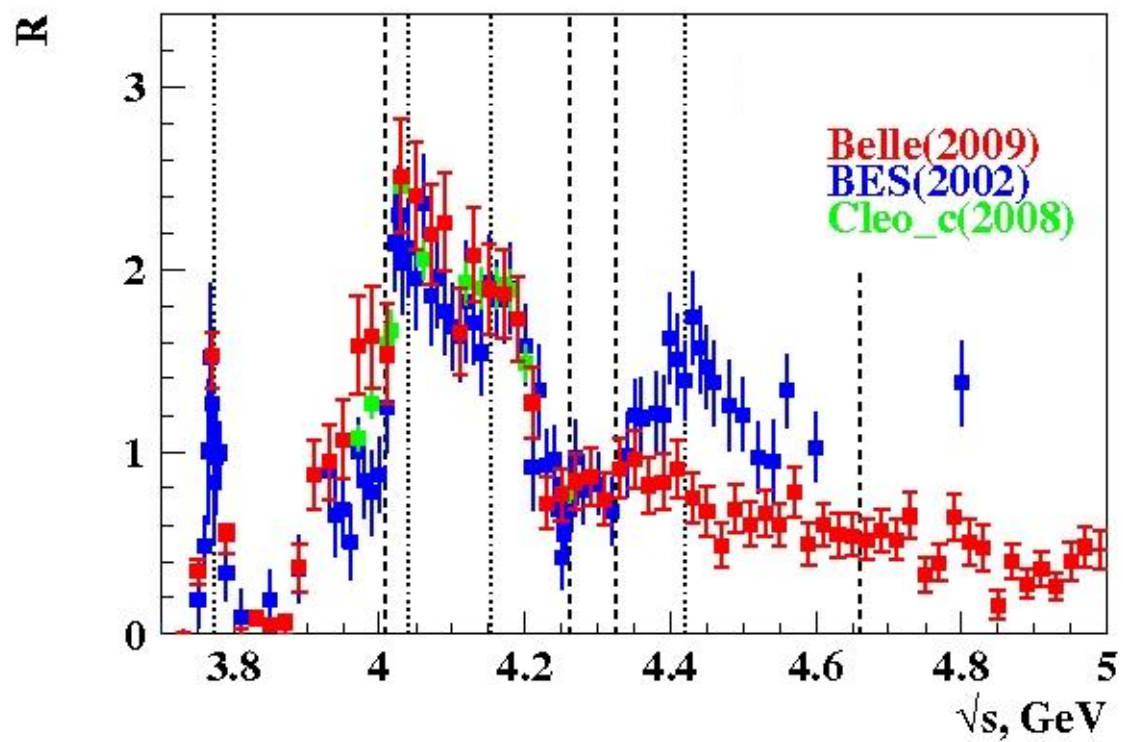
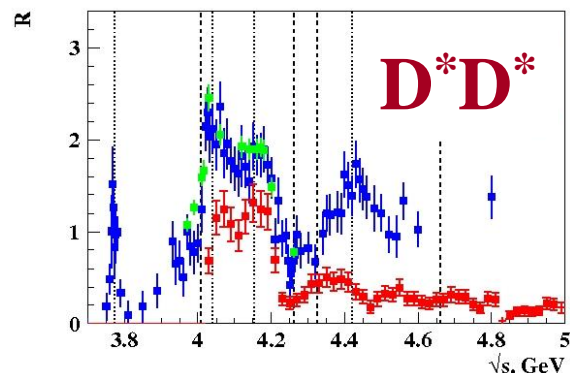
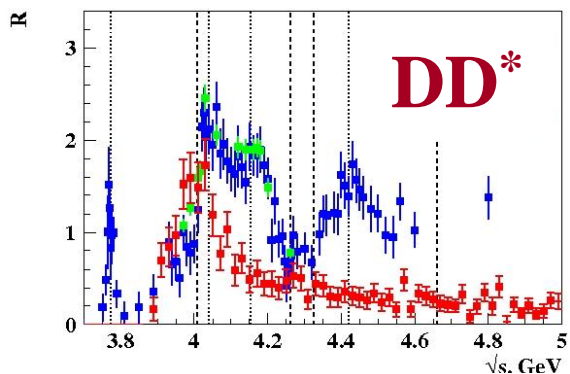
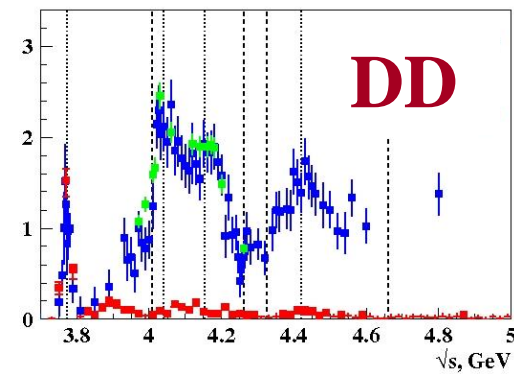
$\Upsilon(5S) : (Bs^*Bs^*)$ Bs^*Bs^* dominates over Bs^*Bs , $BsBs$;
 prediction: D-wave in $\Upsilon(1S)K^+K^-$; $\eta_b(1S)\varphi$, $h_b/\Upsilon\eta^{(\prime)}$

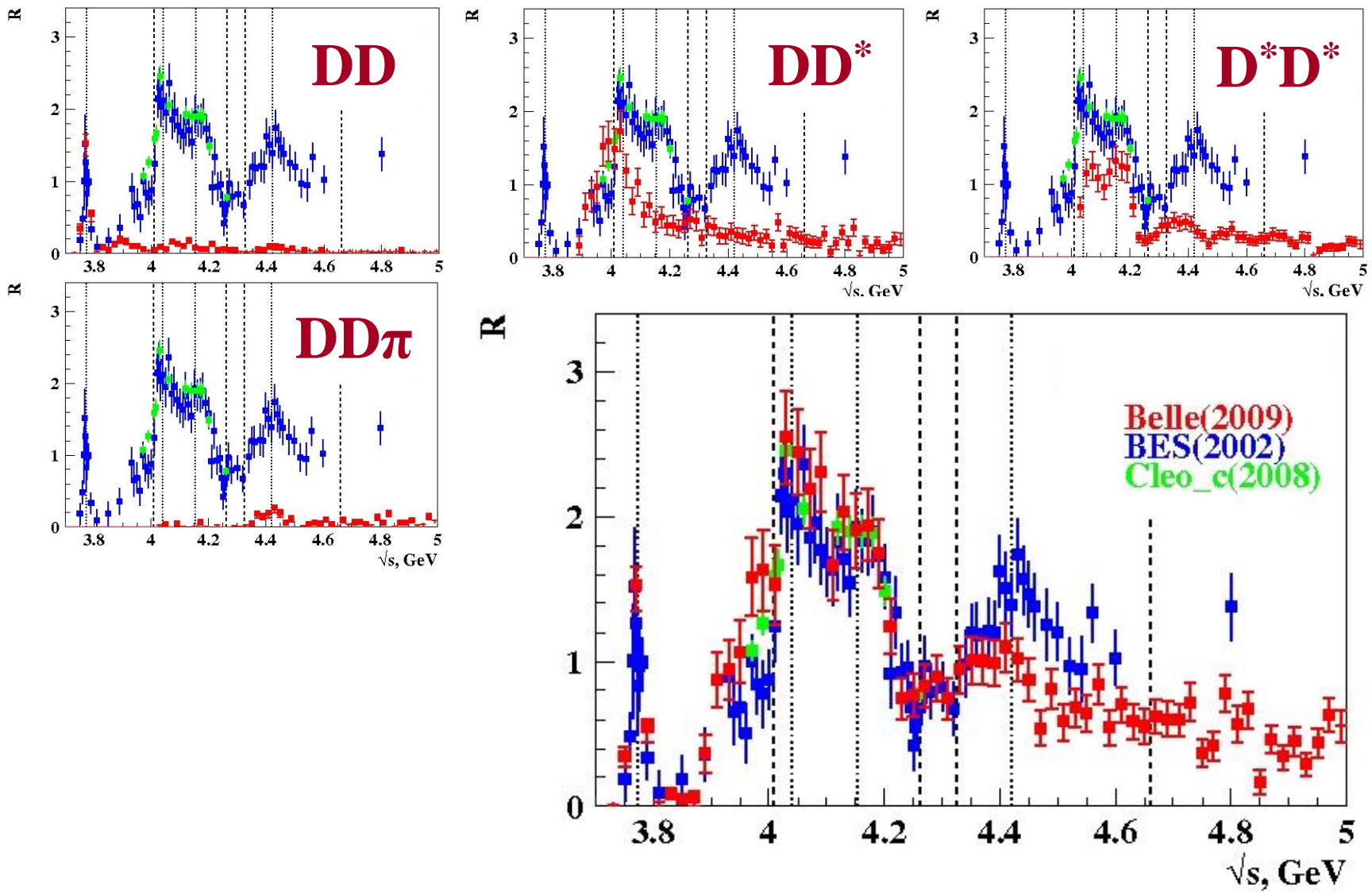
$\Upsilon(6S) : (B^{**}B)$ different from 4S,5S decay pattern can be expected

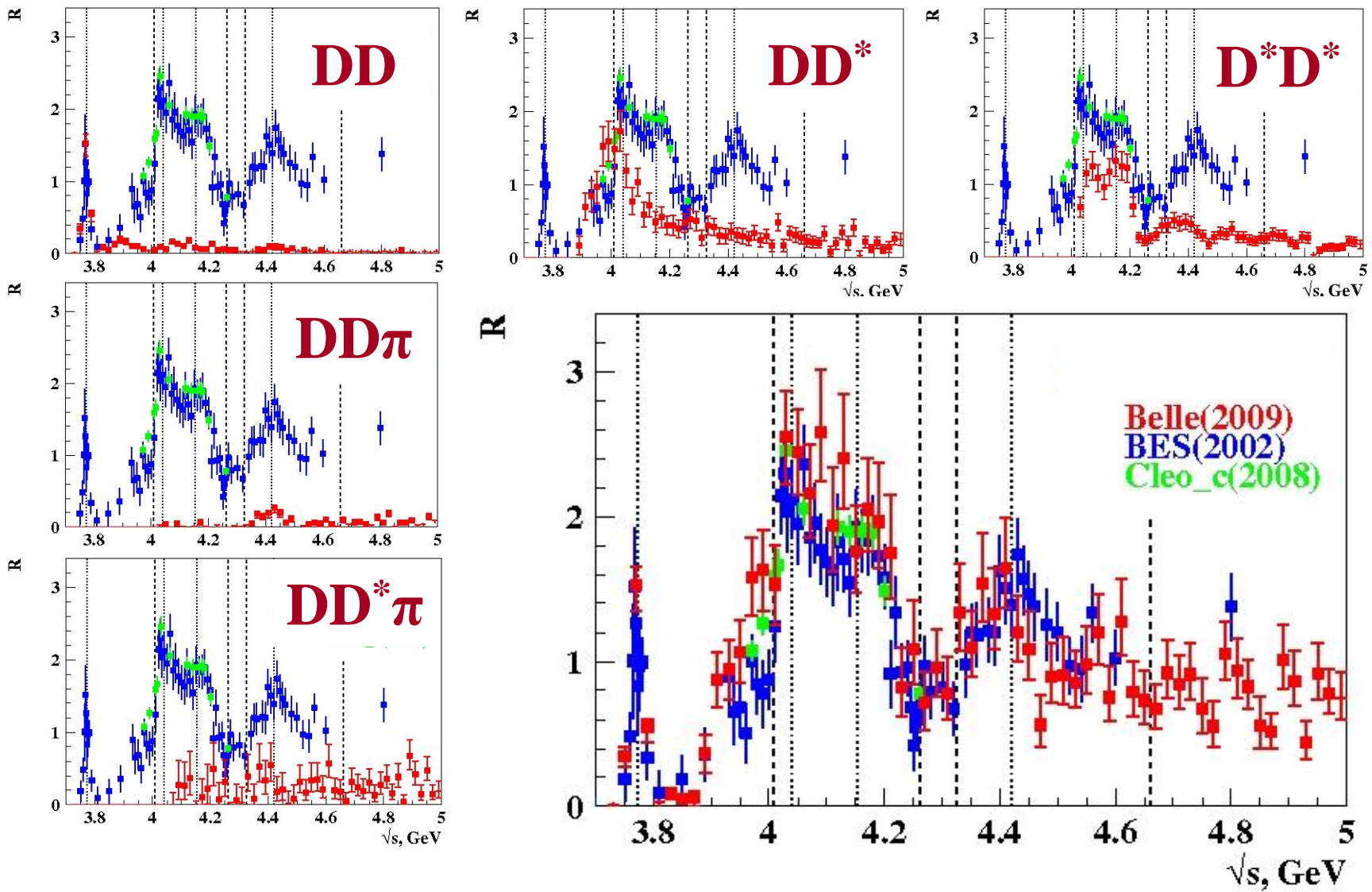
Hadronic transitions are sensitive to the structure of Υ states.

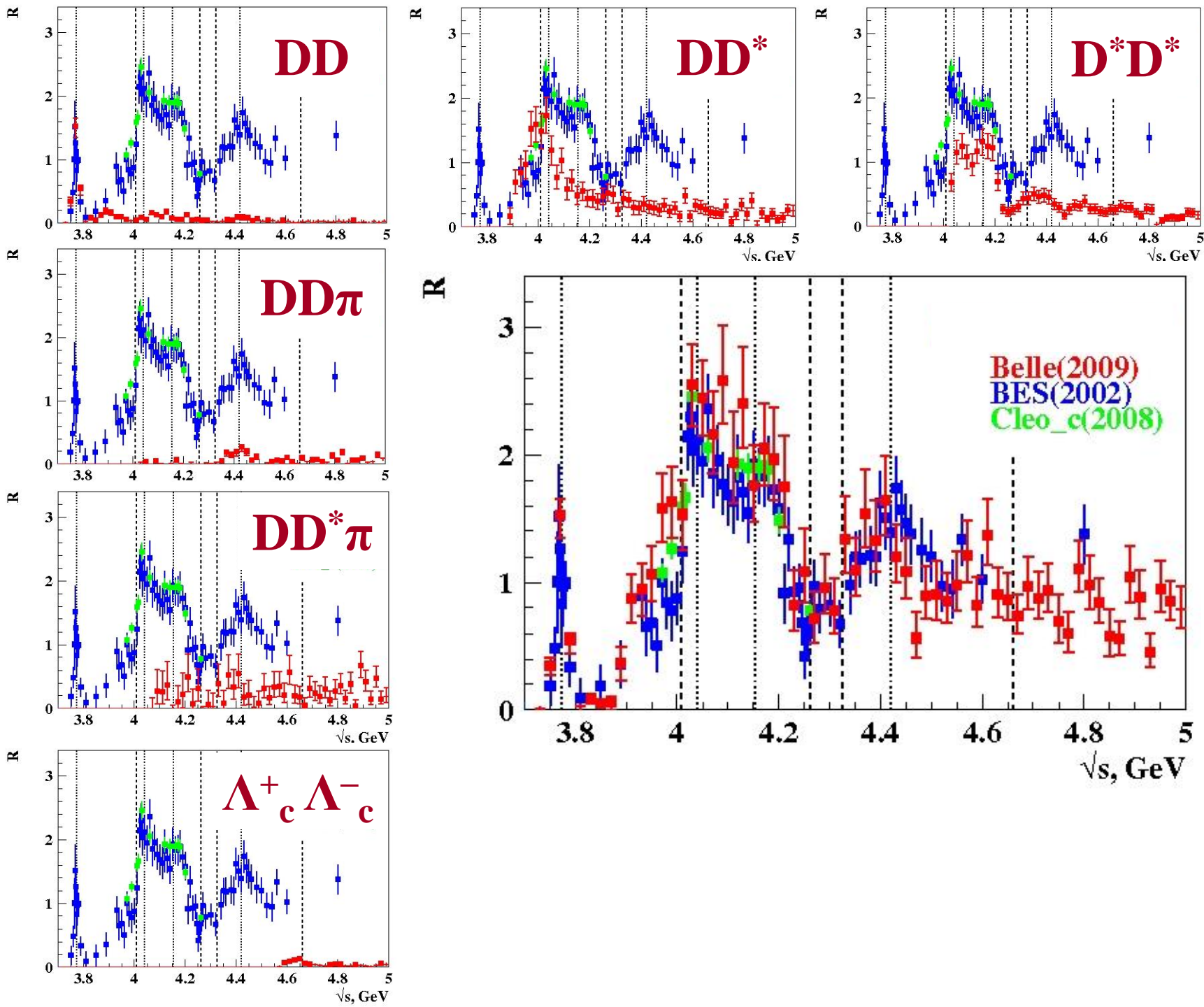


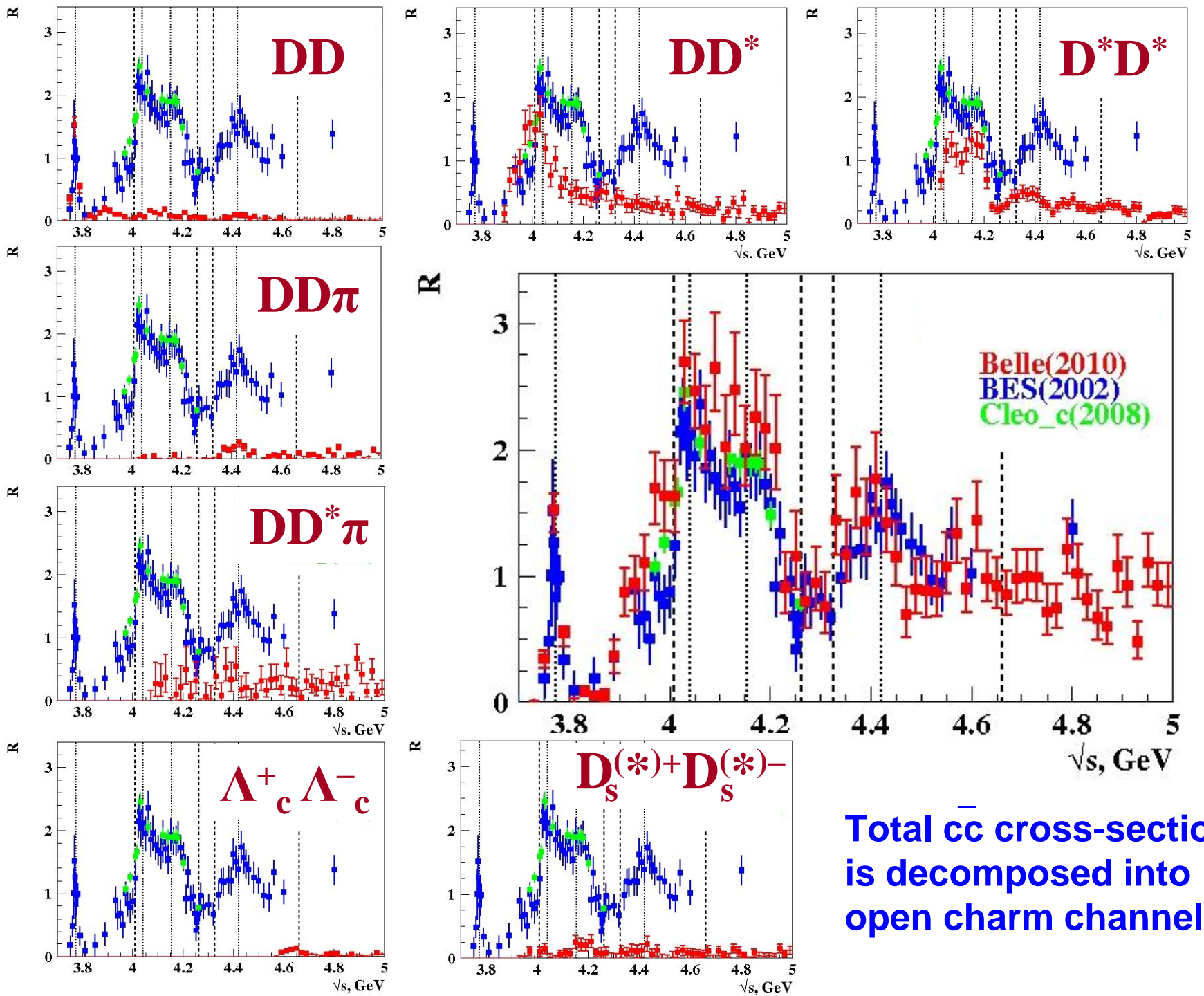






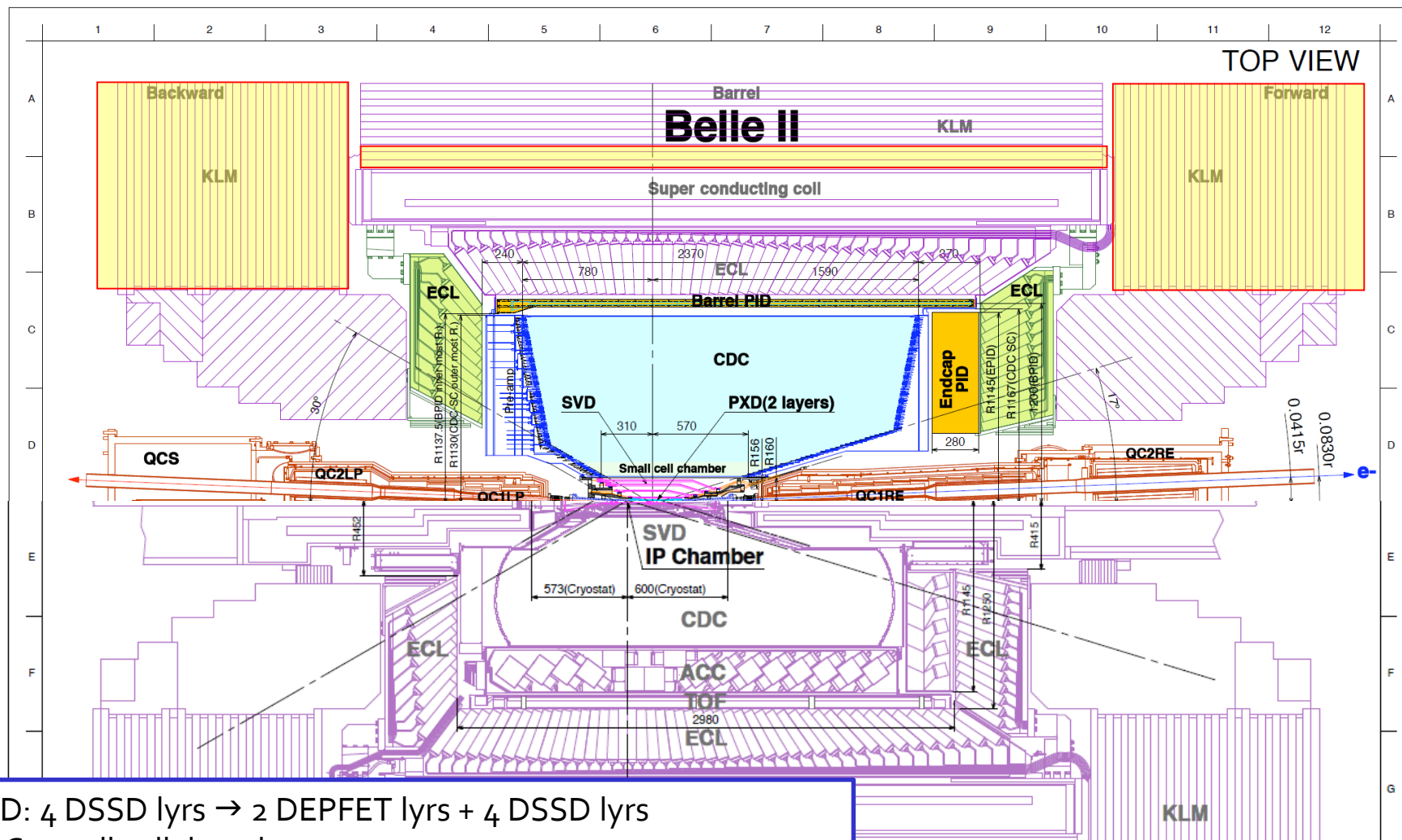






Total cc cross-section
is decomposed into
open charm channels

Belle II Detector (compared to Belle)



SVD: 4 DSSD lyrs \rightarrow 2 DEPFET lyrs + 4 DSSD lyrs

CDC: small cell, long lever arm

ACC+TOF \rightarrow TOP+A-RICH

ECL: waveform sampling (+pure CsI for endcaps)

KLM: RPC \rightarrow Scintillator +MPPC (endcaps, barrel inner 2 lyrs)

meters are prelim

In colours: new components